

ANUARIO ARQUEOLÓGICO DE ANDALUCÍA 2011

BORRADOR / DOCUMENTO PRE-PRINT

MEMORIA DE LA INTERVENCIÓN ARQUEOLÓGICA PREVENTIVA MEDIANTE EXCAVACIÓN EN LA CALLE SAN MARTIN, Nº 2 ESQUINA CON CALLE SACRISTÍA DE ARJONA (JAÉN).

Ildefonso Martínez Sierra

Violeta Solís Armario

Rafael-Antonio Saco Montilla

Resumen: La intervención arqueológica llevada a cabo en este solar, ha permitido obtener el registro y documentación de las estructuras y niveles de relleno existentes. Así, se ha constatado una secuencia de ocupación que arranca al menos desde Época Ibérica-Romano Republicana (siglos III-I a.C.), con el hallazgo de tres cisternas de tipología “a bagnarola”, y continúa hasta la actualidad identificándose varias fosas de cronología Medieval y estructuras murarias de Época Moderna y Contemporánea, pudiéndose documentar la fecha de construcción y posterior refacción de la torre-campanario de la iglesia de San Martín.

Abstract: The archaeological excavation carried out in this plot, has led to the registration and documentation of existing structures and filling tiers. Therefore, there has been a sequence of occupation that started at least in Iberian-Roman Republic times (III-I B.C. centuries) has been confirmed thanks to the discovery of three tank type “a bagnarola”. So, there are still several Medieval septic tanks and wall structures of the modern and contemporary period being identified. It’s possible to document the accurate construction’s date and its following repair of the bell tower of St. Martin’s church.

1. INTRODUCCIÓN Y JUSTIFICACIÓN DE LA INTERVENCIÓN.

Con motivo de la edificación de una vivienda unifamiliar en el solar nº 2 de la calle San Martín, esquina con calle Sacristía de Arjona (Jaén), parcela con un grado de protección de nivel A según el P.G.O.U vigente, aprobado definitivamente en la Resolución de 17 de marzo de 2008, por la Comisión Provincial de Ordenación del Territorio y Urbanismo de Jaén, se solicita autorización para la realización de una Intervención Arqueológica Preventiva mediante excavación arqueológica, en dicho solar.

Los trabajos de intervención arqueológica en el solar se han desarrollado entre los días 18 de Enero y 27 de Febrero de 2012. Para la realización de estos trabajos arqueológicos se ha contado con la participación de 3 operarios y un equipo de arqueólogos integrado por:

Director de la intervención: Ildefonso Martínez Sierra.

Equipo técnico: Violeta Solís Armario y Rafael Antonio Saco Montilla.

La inspección de los trabajos por parte de los servicios técnicos de la Delegación Provincial de Cultura de Jaén ha correspondido a D^a. Concepción Choclán Sabina.

Los promotores del proyecto de construcción, D^a. María del Loreto Jiménez Gutiérrez y D. Antonio Jiménez Gutiérrez, se han hecho cargo de los gastos derivados de la Intervención Arqueológica.

Esta actuación ha tenido como finalidad inmediata la obtención de los registros y determinar la naturaleza, las características y el estado de los depósitos arqueológicos existentes en el área de afección de la obra a ejecutar.

2. LOCALIZACIÓN DE LA INTERVENCIÓN Y CONTEXTO HISTÓRICO

El solar en el que se proyecta esta Intervención Arqueológica se encuentra situado en la zona centro del núcleo urbano entre la calle San Martín y Sacristía y colindante con la Iglesia de San Martín en su lado SO.

Según el PGOU está situado en la ZONA 1. CASCO HISTÓRICO y está afectado de Protección Arqueológica con nivel "A", siendo el tipo de intervención "Excavación Arqueológica" entre el 75 y el 100% de la superficie del solar.

Coordenadas U.T.M. y altitud:**Vértice NE:** X: 407694.75 / Y: 4199508.71**Vértice NO:** X: 407669.55 / Y: 4199524.27**Vértice SE:** X: 407680.51 / Y: 4199503.28**Vértice SO:** X: 407669.77 / Y: 4199518.82

La actuación arqueológica que planteamos en este proyecto se realizará con la intención de conocer, analizar y valorar la posible existencia de depósitos arqueológicos antes del desarrollo de las obras, para que sirvan de base al establecimiento de las cautelas, propuestas de conservación, integración de los restos y condicionamiento del proyecto de obra, que el promotor tiene previsto realizar.

Arjona es una población ubicada al noroeste de la provincia de Jaén a la que se accede por la carretera nacional A-321 Pilar de Moya- Arjona, carretera A-305 Andújar-Arjona y la comarcal JV-2301 Lahiguera-Arjona. Su altitud es de 458 metros sobre el nivel del mar. Desde el punto de vista geológico, el término de Arjona, con una superficie de 158,60 kilómetros cuadrados, se incluye íntegramente en la Depresión del Guadalquivir, dominio geológico que se ubica entre el Macizo Ibérico, situado al norte, y las cordilleras Béticas, al sur. Los materiales que afloran son rocas sedimentarias, principalmente margas, areniscas y calcarenitas.

La ciudad de Arjona es uno de los núcleos urbanos del Alto Guadalquivir en el que se ha constatado una superposición de la ocupación humana como área residencial desde la Prehistoria hasta la actualidad. Esta circunstancia que implica un largo proceso histórico de al menos 5 milenios, también ha ido acompañada de un importante proceso destructivo de los registros arqueológicos, derivado de la propia intensidad y entidad de la superposición urbana. A este aspecto se unen los expolios que desde la etapa renacentista se han venido produciendo en el casco urbano, primero bajo los presupuestos de una Arqueología Sacralizada (Ruiz y otros, 1996) que implicaba la búsqueda de símbolos religiosos o reliquias que sustentaban y justificaban el poder de la iglesia, a lo que responden en este caso los santos patronos de la ciudad San Bonoso y San Maximiano. Las agresiones al patrimonio histórico-arqueológico también se han producido, sobre todo desde el siglo XIX, por el afán fetichista que subyace al coleccionismo practicado por los eruditos locales.

En la primera mitad del siglo XVII, los hallazgos de una necrópolis de la Edad del Bronce en la zona más elevada de la ciudad, aunque interpretados en su momento como mártires de la cristiandad, dan una idea de la significación histórica del patrimonio arqueológico existente bajo la ciudad actual.

La obra de Morales Talero “Anales de la ciudad de Arjona” identifica a Arjona con la ciudad ibero-romana de Urgavo y localiza numerosos hallazgos arqueológicos en el entramado urbano, recogiendo numerosas noticias y documentación gráfica de los siglos XVII y XVIII (Morales Talero, 1965).

El conocimiento sobre la existencia de una nueva necrópolis en la Cuesta del Parral y la revisión de los hallazgos de los Santos de Arjona en 1630, publicados poco después por Fray Manuel Tamayo, realizada por Javier Carrasco, (Carrasco y otros, 1980a y 1980b), vuelve a evidenciar la significación histórica y la importancia científica de Arjona.

En la misma década de los ochenta la línea de investigación de la Universidad de Jaén, centrada en el análisis espacio-temporal del Territorio y del patrón de asentamiento, identifica a Arjona dentro de la ordenación territorial como uno de los centros jerárquicos más importantes del Alto Guadalquivir tanto en Prehistoria Reciente (Nocete, 1984) como en época Ibérica (Ruiz y Molinos, 1984).

En 1986 y 1987, la Delegación de Cultura de Jaén, a través de D^a Francisca Hornos Mata encargó las Zonificaciones Arqueológicas de varios de los centros urbanos de mayor potencialidad entre los que se encontraba Arjona (Jaén, Úbeda, Baeza, Arjona).

Fruto de este encargo la Zonificación Arqueológica de la Ciudad fue realizada por Francisco Nocete Calvo, que ponía de manifiesto las deficiencias del planeamiento urbanístico existente (Normas Subsidiarias aprobadas en 1987 por la Consejería de Obras Públicas y Transportes de la Junta de Andalucía), que solo contemplaba la protección de algunas iglesias y casonas con destacadas portadas, olvidándose de la definición y protección del rico patrimonio arqueológico soterrado (Nocete, 1987).

A través de este informe basado en la recogida sistemática de las noticias orales y públicas y de la prospección sistemática del casco urbano, se realiza un análisis de las actuaciones previstas por el ayuntamiento y recogidas en el Planeamiento Urbano con la finalidad de establecer las medidas necesarias para la salvaguarda y protección del patrimonio de la ciudad.

En este informe se propone una nueva delimitación del Casco Antiguo de la ciudad que implica su sustancial ampliación, en base a la información aportada por los hallazgos arqueológicos y propone una serie de medidas para compatibilizar la política urbanística con la protección del patrimonio histórico de Arjona.

3. PLANTEAMIENTO DE LA INTERVENCIÓN.

Las Fases de Actuación desarrolladas en el solar han consistido en:

FASE 1. Seguimiento intensivo de la demolición de la vivienda y de la retirada de los escombros procedentes de la misma, preservando los niveles de suelo actuales.

FASE 2. Excavación del 75 % de la superficie del solar repartida en tres sondeos arqueológicos.

4. SERIACIÓN ESTRATIGRÁFICA RESULTANTE Y ESTRUCTURAS REGISTRADAS.

Sondeo nº 1:

UEN-1.1. Nivel superficial. Restos constructivos ocasionados por el derribo de la vivienda.

UEN-1.2. Nivel de tierra y arena de color anaranjado en el sector 1ª, bajo UEC-1.IV.

UEN-1.3. Estrato de tierra de color marrón y tonalidad clara con muchas piedras de pequeño y mediano tamaño, generalizado en la zona central del sondeo, bajo UEC-1.IV.

UEN-1.4. Estrato de tierra oscura con carbones y textura esponjosa cortada por la fosa de cimentación UEC-1.XXXV, bajo UEC-1.IV.

UEN-1.6. Estrato de tierra arcillosa de tonalidad grisácea sobre el nivel geológico, localizado en la mitad este del sector 1A.

UEN-1.7. Estrato de tierra negra muy compacta con gran cantidad de pequeños fragmentos de piedra arenisca. Cortada por la zanja de cimentación de la torre UEC-1.XVII. Estrato bajomedieval.

UEN-1.9. Estrato de tierra negra sometida a combustión sobre el nivel geológico, localizada en la zona central del sector 1A, bajo UEN-1.3.

UEN-1.10. Estrato de tierra de tonalidad marrón oscura con intrusiones de yesos, ladrillos y piedras, que corta por el sur a UEN-1.24 en el sector 1A. Sobre nivel geológico.

UEN-1.17. Estrato de tierra rojiza arcillosa sobre derrumbe romano UEN-1.37. Bajo UEC-1.IV.

UEN-1.18. Nivel de cal muerta bajo suelo de terrazo E.1.1, junto a la torre.

UEN-1.19. Nivel de tierra oscura con restos de cal bajo UEN-1.18.= a UEC-IV.

UEN-1.22. Estrato de tierra de tonalidad marrón oscuro con muchas piedras de pequeño tamaño, bajo UEN-1.3 y sobre el nivel geológico. Localizada en el sector 1A.

UEN-1.23. Nivel de escombros con tejas, ladrillos, yesos y piedras, bajo suelo E-1.1. Época Moderna-Contemporánea.

UEN-1.24 = a UEN-1.37.

UEN-1.26. Nivel de arenaza y escombros localizado en la zona central del sector 1.B, bajo UEN-1.23 y sobre UEN-1.25.

UEN-1.27. Nivel de tierra marrón de tonalidad media con intrusiones de teja y piedras pequeñas, bajo UEN-1.23 y sobre UEN-1.30.

UEN-1.28. Estrato de tierra arenosa compacta sobre nivel geológico, junto a E- 1.27.

UEN-1.30. Estrato de tierra mezclada con greda situada en el vértice N-O del sondeo, bajo UEN-1.27.

UEN-1.37. Nivel de derrumbe de grandes piedras y téngulas, sobre calle E-1.34. Época Romana.

UEN-1.40. Estrato con muchas piedras de diversos tamaños junto a E-1.31 en el sector 1B. Época Bajomedieval.

UEN-1.42. Nivel de tierra de tonalidad marrón oscura, bajo derrumbe UEN-1.37 que corta a UEC-LII. Época Romana.

UEN-1.43. Estrato de tierra con muchas piedras cortado por E-1.7 y localizado entre las estructuras E-1.18 y E-1.29. Época Moderna.

UEN-1.44. Estrato de tierra oscura, piedras de pequeño tamaño y ceniza en el vértice N-O del sondeo, bajo UEN-1.30 y sobre UEN-1.45. Época Moderna.

UEN-1.45. Nivel de mortero de cal en el vértice N-O del sondeo, bajo UEN-1.44. Época Moderna.

UEN-1.46. Nivel de tierra negra en el vértice N-O del sondeo, bajo UEN-1.45 y sobre losas UEC-LII.

UEN-1.48. Estrato de tierra de tonalidad marrón clara que rellena a E-1.38 por oeste.
Época Moderna.

UEN-1.50. Bajo UEN-1.7. Nivel cortado por la tumba E-1.42.

UEN-1.53. Nivel de tierra compacta de tonalidad marrón con restos de carbones y algunas piedras. Bajo UEN-1.23 y sobre UEN-1.37, en el perfil Norte del sondeo 1 (1B). Sin material cerámico asociado.

UEN-1.56. Pequeño nivel vertido de cal bajo los suelos contemporáneos.

Estructura 1.1. Solería de terrazo. Época Contemporánea.

UEC-1.I. Baldosas de terrazo de la vivienda demolida.

UEC-1.II. Lecho de regularización de la UEC-1.I. Nivel de arena.

Estructura 1.2. Solería de baldosa de barro. Época Contemporánea.

UEC-1.III. Baldosas de barro de un nivel de suelo anterior a UEC-1.I.

UEC-1.IV. Lecho de regularización de la UEC-I. Nivel de tierra batida con cal.

Estructura 1.3. Muro de carga de la vivienda contemporánea, que arranca desde la torre con orientación E-O, compuesto por pilares de mampostería que sostienen muros con zócalo de mampostería y alzado de tapial. Época Contemporánea.

UEC-1.V. Pilar de mampostería de E.1.3 anexo a la torre.

UEC-1.VI. Pilar de mampostería de E.1.3 en la zona central del sondeo n° 1.

UEC-1.VII. Pilar de mampostería de E.1.3 junto a E.1.29.

Estructura 1.4. Suelo de cal. Época Contemporánea.

UEC-1.VIII. Pequeño resto de suelo de cal junto en vértice SO del sondeo.

Estructura 1.5. Muro de mampostería. Época Romana.

UEC-1.IX. Cimentación de mampostería con orientación N-S en el perfil sur del sondeo n° 1.

Estructura 1.6. Cisterna a bagnarola con orientación E-O. Época Romana.

UEC-1.X. Fosa de construcción de la cisterna excavada en el sustrato geológico.

UEC-1.XI. Pared de mampostería de la cisterna.

UEC-1.XII. Revoco de mortero de cal y arena de la pared interna de la cisterna.

UEC-1.XIII. Moldura perimetral en forma de media caña en la base de la cisterna.

UEC-1.XIV. Cubierta de grandes losas de la cisterna.

UEN-1.54. Nivel de escombros contemporáneos que rellena la cisterna.

UEN-1.55. Nivel de lodo contemporáneo que rellena de la cisterna, sobre suelo.

Estructura 1.7. Atarjea de ladrillo y cubierta de piedra con función de rebosadero de la cisterna E.1.6. Época Moderna-Contemporánea.

UEC-1.XV. Paredes de ladrillo de la atarjea.

UEC-1.XVI. Cubierta de losetas de la atarjea.

UEN-1.51. Nivel de relleno de UEC-1.XV.

Estructura 1.8. Torre de la Iglesia de San Martín de Tours, a cuya cara norte se adosaba la vivienda demolida. Época Moderna.

UEC-1.XVII. Fosa de cimentación de torre.

UEC-1.XVIII. Cimentación de la torre a base de sillarejo y mortero de cal y arena.

UEC-1.XIX. Alzado de la torre a base de sillarejo y grandes mampuestos.

UEC-1.XX. Fosa de cimentación de la refacción de la torre realizada en el siglo XVI.

UEC-1.XXI. Cimentación de la refacción de la torre a base de sillares alargados y mortero de cal y arena.

UEC-1.XXII. Alzado de la refacción a base de grandes sillares.

UEN-1.20. Nivel de relleno de la fosa de cimentación UEC-XXVIII. Estrato de tierra de tonalidad marrón clara con inclusiones de ladrillos y piedras de pequeño tamaño.

UEN-1.33. Nivel de relleno de la fosa de cimentación UEC-XX. Nivel de descompuesto de piedra arenisca.

UEN-1.34. Nivel de relleno de la fosa de cimentación UEC-XX. Pequeño nivel de tierra negra y pequeñas piedras sobre zapata de mortero y piedra de la cimentación de la torre.

Estructura 1.9. Silo de almacenaje excavado en el nivel geológico. Época Moderna.

UEC-1.XXIII. Fosa excavada en el sustrato geológico.

UEN-1.8. Nivel de relleno de UEC-1.XXIII.

Estructura 1.10. Hoyo de poste. Cronología anterior a Época Moderna.

UEC-1.XXIV. Fosa circular excavada en el sustrato geológico bajo E-1.29.

UEN-1.45. Nivel de relleno de UEC-1.XXIV.

Estructura 1.11. Fosa circular excavada en el nivel geológico. Época Moderna.

UEC-1.XXV. Fosa circular excavada en el sustrato geológico en la zona central del sondeo 1A.

UEN-1.11. Relleno de la fosa UEC-1.XXV.

Estructura 1.12. Fosa circular. Época Moderna.

UEC-1.XXVI. Fosa circular excavada en el sustrato geológico, entre el perfil sur y E-1.14.

UEN-1.12. Relleno de la fosa UEC-XXVI.

Estructura 1.13. Estructura indeterminada de mampuestos y mortero de cal. Época Moderna.

UEC-1.XXVII. Pequeña estructura de mampuestos y mortero de cal con orientación N-S, sobre el pozo E-1.14.

Estructura 1.14. Pozo circular. Época Romana.

UEC-1.XXVIII. Fosa circular excavada en el sustrato geológico.

UEC-1.XXIX. Pared de mampostería del pozo.

UEC-1.XXX. Revoco de opus signinum de la pared interna del pozo.

UEC-1.XXXI. Moldura perimetral en la base del pozo.

UEN-1.39. Nivel de relleno del pozo.

Estructura 1.15. Hoyo de poste. Cronología anterior a Época Moderna.

UEC-1.XXXII. Fosa circular excavada en el sustrato geológico bajo E-1.29.

UEN-1.46. Nivel de relleno de UEC-1.XXX.

Estructura 1.16. Fosa circular que se prolonga bajo el perfil sur.

UEC-1.XXXIII. Fosa circular excavada en el sustrato geológico.

UEN-1.21. Nivel de relleno de UEC-1.XXXIII. Nivel de tierra suelta con inclusiones de ladrillos, tejas, yesos y piedras.

Estructura 1.17. Resto de pavimento encachado. Época Moderna. UEC-1.XXXIV.

Suelo a base de tierra y pequeños fragmentos cerámicos y pétreos apisonados.

Estructura 1.18. Muro de mampuestos trabados con mortero de cal y arena. Época Contemporánea.

UEC-1.XXXV. Fosa de cimentación de E.1.18.

UEC-1.XXXVI. Cimentación de mampuestos trabados con mortero de cal y arena, adosado a la cabecera oeste de la cisterna E-1.6. Orientación N-S.

UEN-1.5. Nivel de relleno de UEC-1.XXXV.

Estructura 1.19. Muro de medianería en el límite sur del sondeo nº 1. Época Contemporánea.

UEC-1.XXXVII. Muro construido a base de mampuestos trabados con mortero de cal y arena.

Estructura 1.20. Hoyo de poste. Cronología anterior a Época Moderna.

UEC-1.XXXVIII. Fosa circular excavada en el sustrato geológico bajo E-1.29.

UEN-1.13. Nivel de relleno de UEC-1.XXXVIII.

Estructura 1.21. Hoyo de poste. Cronología anterior a Época Moderna.

UEC-1.XXXIX. Fosa circular excavada en el sustrato geológico bajo E-1.29.

UEN-1.14. Nivel de relleno de UEC-1.XXX.

Estructura 1.22. Pequeña fosa excavada en el sustrato geológico.

UEC-1.XL. Fosa excavada en el sustrato geológico.

UEN-1.47. Nivel de relleno de UEC-1.XL.

Estructura 1.23. Resto de línea de empedrado junto a cisterna. Época Contemporánea.

Estructura 1.24. Fosa circular excavada en el sustrato geológico.

UEC-1.XLI. Fosa circular excavada en el sustrato geológico.

UEN-1.15. Nivel de relleno de UEC-1.XLI.

Estructura 1.25. Fosa circular excavada en el sustrato geológico.

UEC-1.XLII. Fosa circular cortada por E-1.18.

UEN-1.16. Nivel de relleno de UEC-1.XLII.

Estructura 1.26. Grandes losas de piedra arenisca trabadas con pequeños mampuestos y mortero de cal y arena que sellan el pozo E-1.14. Época Moderna.

UEC-1.XLIII. Grandes losas de piedra arenisca trabadas con pequeños mampuestos y mortero de cal y arena que sellan el pozo E-1.14

Estructura 1.27. Estructura de mampostería con orientación N-S. Época Moderna.

UEC-1.XLIV. Estructura de mampostería con orientación N-S. Bajo E-1.17.

Estructura 1.28. Fosa de gran tamaño que corta los niveles romanos en la zona central del sondeo. Época Moderna.

UEC-1.XLV. Fosa de gran tamaño que corta los niveles romanos. Sobre silo E-1.31.

UEN-1.25. Nivel de relleno de UEC-1.XLV.

Estructura 1.29. Estructura muraria de mampuestos trabados con mortero de cal y arena, continuación de E-1.18. Época Contemporánea.

UEC-1.XLVI. Fosa de cimentación de E.1.29.

UEC-1.XLVII. Cimentación de mampuestos trabados con mortero de cal y arena con orientación N-S.

UEN-1.29. Nivel de relleno de UEC-1.XLVI.

Estructura 1.30. Resto de pavimento de cal en el vértice NW del sondeo. Época Bajomedieval.

UEC-1.XLVIII. Resto de pavimento de cal.

UEN-1.31. Nivel tierra oscura sobre UEC-1.XLVIII.

Estructura 1.31. Silo de almacenaje excavado en el sustrato geológico. Época Moderna.

UEC-1.XLIX. Fosa excavada en el sustrato geológico que rompe la calle de época romana E-1.32.

UEN-1.32. Nivel de relleno de UEC-1.XLIX.

Estructura 1.32. Fosa cuadrangular que corta el sustrato geológico. Época Moderna.

UEC-1.L. Fosa cuadrangular que corta el sustrato geológico.

UEN-1.36. Nivel de relleno de UEC-1.XL.

Estructura 1.33. Estructura indeterminada de mampuestos y piedras canteadas. Época Romana.

UEC-1.LI.

Estructura 1.34. Calle de Época Romana.

UEC-1.LII. Pequeño nivel de arena sobre las losas de la calle.

UEC-1.LIII. Pavimento de grandes losas de Época Altoimperial.

UEC-1.LIV. Lecho de regularización para asiento de UEC-1.LIII.

UEC-1.LXV. Pavimento de grandes losas de Época Republicana.

UEC-1.LXVI. Lecho de regularización para asiento de UEC-1.LXV.

Estructura 1.35. Red de saneamiento de la vivienda demolida. Época Contemporánea.

UEC-1.LV. Fosa de construcción para la zanja de saneamiento que rompe la atarjea E-1.7.

UEC-1.LVI. Canalización de tubos de hormigón unidos mediante anillos de ladrillo y piedra trabados con cemento.

UEN-1.38. Nivel de relleno de UEC-1.XLVI.

Estructura 1.36. Fosa indeterminada excavada en el sustrato geológico.

UEC-1.LVII. Fosa ovalada excavada en el sustrato geológico, localizada en la parte central del sondeo.

UEN-1.41. Nivel de relleno de UEC-1.LVII. Tierra amarillenta con restos calizos provenientes del mismo sustrato geológico y algunos carbones.

Estructura 1.37. Zanja con orientación N-S que atraviesa todo el sondeo. Época Moderna.

UEC-1.LVIII. Zanja con orientación N-S que corta a UEN-1.7.

UEN-1.35. Nivel de relleno de UEC-1.LVIII. Tierra suelta de tonalidad marrón clara con muchas piedras de pequeño tamaño y algunos fragmentos de teja.

Estructura 1.38. Estructura indeterminada en el perfil norte del sondeo. Época Moderna.

UEC-1.LIX. Dos grandes piedras canteadas alineadas que parecen ser una estructura muraria que se prolonga hacia el norte en el perfil norte del sondeo. Corta los niveles romanos y se asienta sobre las losas de la calle E-1. 34.

UEC-1.LX. Fosa de construcción de UEC-1.LIX.

UEN-1.52. Relleno de la fosa UEC-1.LX.

Estructura 1.39. Estructura muraria con orientación N-S. Época Romana.

UEC-1.LXI. Muro de mampuestos con orientación N-S bajo UEN-1.37. Junto a calle E-1.34.

Estructura 1.40. Grandes piedras canteadas que hacen de fachada a la calle E-1.34. Época Romana.

UEC- 1.LXII. Grandes piedras canteadas con marcas del picado en su factura, bajo E-1.39. Sobre nivel geológico.

Estructura 1.41. Muro de fachada a calle San Martín, compuesto por pilares de mampostería que sostienen muros con zócalo de mampostería y alzado de tapial. Época Contemporánea.

UEC-1.LXIII. Muro de fachada a calle San Martín, compuesto por pilares de mampostería que sostienen muros con zócalo de mampostería y alzado de tapial.

Estructura 1.42. Tumba excavada en tierra. Época Bajomedieval.

UEC-1.LXIV. Fosa de enterramiento excavada en UEN-1.7 y cortada por la cimentación de la torre UEC-1.XVIII.

UEN-1.49. Nivel de relleno de la tumba UEC-1. LXIV, tierra compacta de tonalidad marrón oscura con inclusiones de piedras de pequeño tamaño y algún fragmento de teja.

Sondeo n° 2:

UEN-2.1. Nivel de tierra de naturaleza orgánica del huerto y el estercolero ubicado en el patio de la vivienda demolida.

UEN-2.3. Nivel de tierra amarillenta y homogénea sin inclusiones bajo UEN-2.1 y sobre E-2.3. Sector 2A. Época Romana Altoimperial.

UEN-2.4. Estrato de tierra de tono amarillento con fragmentos de téglulas que rellena a E-2.3 por su cara norte. Sector 2A. Época Romana Bajoimperial.

UEN-2.4A. Estrato de tierra muy compacta amarillenta bajo suelo E-2.22 y sobre roca. Época Romana Republicana.

UEN-2.5. Estrato con gran cantidad de piedras y téglulas, bajo UEN-2.1. Sector 2A. Época Romana.

UEN-2.9. Nivel de tierra mezclada con greda en el perfil norte del sector 2A. Sobre nivel geológico.

UEN-2.10. Nivel de tierra de tonalidad marrón oscuro sobre nivel geológico. Topa con UEN-2.9 al oeste. Época Moderna.

UEN-2.11. Nivel de tierra de tonalidad marrón oscura con piedras de pequeño tamaño entre E-2.6 y E-3.2 en el perfil oeste del sector 2A. Bajo UEN-2.1. Época Bajomedieval.

UEN-2.12. Nivel de escombros con muchas piedras y tejas en la parte central del sondeo. Bajo UEN-2.1.

UEN-2.13. Estrato grueso de tierra de textura esponjosa con apenas inclusiones de pequeños fragmentos de arenisca y alguna teja. Localizado en el vértice SE del sondeo, sobre pared sur de la cisterna E-2.8.

UEN-2.14. Nivel de grava asociado a la ampliación de la calle San Martín en el terreno cedido por la vivienda demolida. Bajo adoquines.

UEN-2.15. Estrato de tierra compacta de tonalidad marrón oscuro con piedras pequeñas al oeste de cisterna, en el perfil este del sondeo. Bajo UEN-2.12.

UEN-2.16. Estrato de tierra compacta de tono rojizo, bajo UEN-2.15 y sobre nivel geológico. En la parte central del sondeo.

UEN-2.36. Estrato de tierra compacta de tonalidad marrón oscuro, sobre nivel geológico y bajo UEN-2.15 en el perfil este del sondeo. Topa por el sur con UEN-2.16. Época Romana.

UEN-2.37. Estrato de tierra compacta arenosa de tonalidad marrón clara, bajo las losas del suelo E-2.17 y sobre el nivel geológico.

UEN-2.39. Nivel de ceniza bajo el nivel de regularización de E-2.25.

Estructura 2.1. Fosa de morfología cuadrangular. Época Contemporánea.

UEC-2.I. Fosa de morfología cuadrangular en el perfil este del sector 2ª.

UEN-2.2. Nivel de relleno de UEC-2.1. Tierra negra producto de la descomposición de materia orgánica mezclada con arena del sustrato geológico existente en el solar.

Estructura 2.2. Pequeña estructura de contención del terreno. Época Romana

UEC-2.II. Muro de mampostería de una sola hilada, con orientación E-O, adosado al sustrato geológico tras manipularse éste, formándose así una nueva plataforma o terraza hacia el norte.

Estructura 2.3. Resto de estructura de mampostería. Época Romana.

UEC-2.III. Pequeña estructura formada por varios mampuestos con orientación E-O, sobre el nivel geológico.

Estructura 2.4. Fosa en el perfil oeste del sector 2A.

UEC-2.IV. Fosa que corta a UEN-2.5 en el perfil oeste del sector 2A.

UEN-2.6. Nivel de relleno de UEC-2.IV. Nivel de tierra de tonalidad marrón oscuro con pequeños carbones.

Estructura 2.5. Fosa de morfología circular.

UEC-2.V. Fosa excavada en el sustrato geológico en el perfil este del sector 2A.

UEN-2.7. Nivel de relleno de UEC-2.V. Nivel de tierra suelta con muchas piedras de pequeño tamaño.

Estructura 2.6. Fosa de morfología circular.

UEC-2.VI. Fosa excavada en el sustrato geológico en el perfil oeste del sector 2A.

UEN-2.8. Nivel de relleno de UEC-2.VI. Nivel de tierra de tonalidad marrón oscuro con piedras de gran tamaño.

Estructura 2.7. Fosa en rincón SE del sondeo. Época Contemporánea.

UEC-2.VII. Fosa excavada en UEN-2.13.

UEN-2.33. Nivel de relleno de UEC-2.VII. Tierra suelta con yesos, tejas, piedras de distintos tamaños y ladrillos.

Estructura 2.8. Cisterna a bagnarola con orientación E-O. Época Romana.

UEC-2.VIII. Fosa de construcción de la cisterna excavada en el sustrato geológico.

UEC-2.IX. Pared de mampostería de la cisterna.

UEC-2.X. Revoco de mortero de cal y arena de la pared interna de la cisterna.

UEC-2.XI A. Moldura perimetral en forma de media caña en la base de la cisterna.

UEC-2.XI B. Moldura perimetral en forma de media caña entre UEC-XI A y el arranque de la pared.

UEC-2.XII. Gran sillar embutido en la pared norte de la cisterna asociado a la construcción de ésta, próximo a la cabecera oeste de la misma.

UEC-2.XIII. Gran sillar embutido en la pared norte de la cisterna asociado a la construcción de ésta, situado en la parte central de la misma.

UEC-2.XIV. Gran sillar embutido en la pared norte de la cisterna asociado a la construcción de ésta, situado en la zona este de la misma.

UEN-2.21. Estrato de tierra arcillosa de tono rojizo con grandes piedras y un fragmento de losa de piedra de gran dimensión. Cortado por UEN-2.20 en la zona más al este del interior de la cisterna.

UEN-2.23. Nivel de vertido de escasa potencia de tierra amarillenta con algunos carbones, en el interior de la cisterna. Bajo UEN-2.21.

UEN-2.24A. Nivel de vertido de tierra esponjosa de tonalidad marrón oscuro con piedras de pequeño tamaño. Bajo UEN-2.23.

UEN-2.24B. Nivel de vertido de gran potencia de tierra compacta de tonalidad marrón oscuro muy homogénea. Con alguna piedra de mediano tamaño. Bajo UEN-2.24A, sobre UEN-2.25.

UEN-2.25. Nivel de tierra arenosa de tonalidad amarillenta con piedras, tégulas y muchos fragmentos cerámicos. Bajo UEN-2.24 y sobre UEN-2.26.

UEN-2.26. Nivel de limos sobre fondo de la cisterna. Bajo UEN-2.25.

UEN-2.29. Nivel de escombros de gran potencia, vertido desde la cabecera oeste de la cisterna que contiene gran cantidad de piedras, tégulas, fragmentos de mármol y varias basas de columnas.

Estructura 2.9. Pilar de mampostería en la zona central del sector 2B. Época Moderna.

UEC-2.XV. Pilar de mampostería sobre nivel geológico y sobre pozo E-2.15.

Estructura 2.10. Pozo con brocal de mampostería en el vértice NO del sondeo. Época Moderna-Contemporánea.

UEC-2.XVI. Pozo excavado en el sustrato geológico con brocal de mampostería que rompe el pavimento E-2.17.

UEN-2.31. Nivel de relleno de UEC-2.XVI. Nivel de escombros contemporáneos formado por tierra suelta, yesos, piedras de distintos tamaños, tejas y ladrillos.

UEN-2.38. Nivel de tierra oscura y muchas piedras que corta a las UU.EE.NN.-2.15 Y 2.36, asociado a la construcción del pozo.

Estructura 2.11. Fosa sobre UEC-2.XII. Época Moderna (s. XVI).

UEC-XVII. Fosa que corta la pared norte, sobre UEC-2.XII, posiblemente para extracción de piedra. Localizada próxima a la cabecera oeste de la cisterna.

UEN-2.18. Relleno de UEC-XVII. Nivel de tierra y piedras de pequeño tamaño (los materiales que hemos asociado a esta UEN pueden ser intrusiones provenientes de la UEN-2.19).

Estructura 2.12. Fosa sobre UEC-XIII. Época Moderna.

UEC-2XVIII. Fosa que corta la pared norte de la cisterna, sobre UEC-2.XIII, posiblemente para extracción de piedra. Localizada en la parte central de la pared norte de la cisterna.

UEN-2.35. Relleno de UEC-2.XVIII. Nivel de piedras de mediano y pequeño tamaño, ladrillos y yesos.

Estructura 2.13. Fosa sobre UEC-XIV. Época Bajomedieval.

UEC-2.XIX. Fosa realizada en la zona este de la cisterna y que corta su pared norte y los rellenos internos (UEN-2.24). Posiblemente para extracción de piedra.

UEN-2.20. Nivel de relleno de UEC-2.XIX. Nivel de piedras de mediano tamaño con algunos fragmentos de teja y ladrillo.

UEN-2.27. Nivel de relleno de UEC-2.XIX, compuesto de tierra marrón oscuro muy suelta con piedras de mediano y gran tamaño y fragmentos de teja y ladrillo.

Estructura 2.14. Fosa de morfología circular. Época Moderna.

UEC-2.XX. Fosa de morfología circular excavada en los rellenos tardorromanos del interior de la cisterna. Corta a UEN-2.21.

UEN-2.19. Nivel de relleno de UEC-2.XX. Tierra oscura de origen orgánico con restos de cal.

Estructura 2.15. Pozo de captación de agua. Época romana.

UEC-2.XXI. Pozo de morfología circular excavado en el sustrato geológico.

UEC-2.XXII. Paño de mampuestos adosados a la pared geológica del pozo, pertenecientes al arranque del brocal que no se ha conservado.

UEN-2.28. Nivel de relleno de UEC-2.XXI. Tierra suelta y piedras de distintos tamaños.

UEN-2.30. Nivel de relleno de UEC-2.XXI, bajo UEN-2.28. Nivel de tierra suelta de tonalidad marrón clara sin intrusiones de piedras.

Estructura 2.16. Estructura muraria adosada al sustrato geológico. Época Romana.

UEC-2.XXIII. Estructura formada por dos losas alargadas, con orientación E-O, adosada al sustrato geológico que limita el espacio que ocupa el pavimento E-2.17 y la terraza superior hacia el sur.

Estructura 2.17. Pavimento enlosado. Época Romana.

UEC-2.XXIV. Nivel de suelo formado por losas de distintos tamaños.

UEN-2.32. Nivel de tierra oscura con cenizas y carbones sobre E-2.17 localizada en su zona más oriental.

Estructura 2.18. Muro de fachada a la calle Sacristía. Época contemporánea.

UEC-2.XXV. Muro con zócalo y pilares de mampostería y alzado de tapial con orientación E-O.

Estructura 2.19. Muro medianero colindante con la sacristía de la Iglesia de San Martín. Época contemporánea.

UEC-2.XXVI. Muro con zócalo y pilares de mampostería y alzado de tapial con orientación N-S, corresponde con el límite oeste del espacio que ocupa el sondeo 2.

Estructura 2.20. Fosa de morfología circular al norte de E-2.3. Época Romana.

UEC-2.XXVII. Fosa excavada en el sustrato geológico al norte de E-2.3. Rompe a pavimento E-2.20.

UEN-2.22. Nivel de relleno de E-2.20. Tierra amarillenta arenosa bajo UEN-2.5. Sector 2A.

Estructura 2.21. Muro de fachada a la calle San Martín. Época contemporánea.

UEC-2.XXVIII. Muro con zócalo y pilares de mampostería y alzado de tapial con orientación SE-NO.

Estructura 2.22. Resto de pavimento de losetas asociado a E.2.3. Época Romana.

UEC-2.XXIX. Resto de pavimento de losetas en el perfil oeste del sector 2A, cortado por las fosas E-2.6 y E-2.20.

Estructura 2.23. Pequeña fosa circular en el perfil este del sondeo 2. Época Contemporánea.

UEC-2.XXX. Pequeña fosa circular en el perfil este del sondeo 2 que corta a UEN-2.13.

UEN-2.34. Relleno de la UEC-2.XXX. Tierra suelta y oscura con pequeñas piedras y nódulos de cal. Corta a la UEN-2.13.

Estructura 2.24. Pequeña fosa circular sobre pozo E-2.15. Época Contemporánea.

UEC-2.XXXI. Fosa excavada en los rellenos del pozo E-2.15, al este de E-2.9.

UEN-2.17. Nivel de relleno de UEC-2.XXXI, de tierra suelta con yesos, ladrillos, muchas piedras de pequeño tamaño y cristales.

Estructura 2.25. Suelo de baldosas de barro de una antigua carbonería existente en la propiedad hasta finales de los años 70 del siglo XX. Época Contemporánea.

UEC-2.XXXII. Pavimento de baldosas de barro.

UEC-2.XXXIII. Nivel de regularización de arena para el asiento de UEC-2.XXXII.

Sondeo nº 3:

UEN-3.1. Estrato de escombros con yesos, triples, restos de vigas de hormigón, plásticos..., en la zona del sondeo sobre la cisterna E-3.2. Época contemporánea.

UEN-3.2. Estrato de tierra mezclada con greda y escombros en la zona próxima al vértice SE del sondeo. Bajo UEN-3.1. Época Moderna.

UEN-3.3. Estrato de tierra compacta de tono rojizo, en la zona central del sondeo, con muchos fragmentos de téglulas (aparece una entera con decoración digital).

UEN-3.4. Nivel de tierra compacta de tonalidad marrón oscura, con carbones, en el perfil este. Bajo UU.EE.NN-3.1 y 3.2, y sobre UEN-3.7. Época Romana.

UEN-3.6. Estrato de tierra oscura con mucha piedra de mediano y gran tamaño al norte de la canalización E-3.6. Época Moderna.

UEN-3.8. Estrato de tierra con pequeños clastos de cal y pequeños carbones en el perfil este, bajo UEN-3.4. (= a UEN-3.7). Época Romana.

UEN-3.10. Estrato arenoso sobre nivel geológico, cortado por canalización E-3.6. Época Romana.

UEN-3.12. Nivel de tierra suelta con mucha teja, bajo UEN-3.6. Localizado al norte de E-3.8.

UEN-3.13. Nivel de tierra compacta sin intrusiones que hay entre los niveles de enlosado E.E-3.7 y 3.9. Época Romana.

UEN-3.14. Estrato de tierra de tonalidad marrón oscura con muchas piedras de pequeño tamaño, al sur de E-3.8. Sobre E-3.7. Época Moderna.

UEN-3.15. Estrato de tierra de tono grisáceo en el perfil oeste, bajo UEN-3.14. (sin material asociado)

UEN-3.17. Estrato de tierra de tonalidad marrón oscura, de textura esponjosa, situada al oeste de E-3.11 y sobre E-3.17. Época Moderna.

UEN-3.18. Estrato de tierra compacta de tonalidad marrón oscuro con algunos carbones bajo las E.E-3.16 y 3.17. Sobre nivel geológico y bajo UEN-3.17.

UEN-3.19. Nivel de tierra oscura con muchas piedras de pequeño tamaño, situada en el vértice NO del sondeo sobre la línea de losetas que se han conservado. Bajo UEN-3.6. Época Moderna.

UEN-3.21. Estrato de tierra compacta sobre el nivel geológico al oeste de cisterna E-3.2. Bajo E-3.10. Época Romana.

Estructura 3.1. Silo o fosa vertedero excavada en el sustrato geológico. Época Moderna.

UEC-3.I. Fosa excavada en el sustrato geológico localizada en el perfil este del sondeo. Corta a UEN-3.3 y UEN-3.4.

UEN-3.5. Nivel de relleno de UEC-3.I. Nivel de tierra orgánica de tonalidad marrón oscura, sobre UEN-3.9.

UEN-3.9. Nivel de relleno de UEC-3.I. Nivel de tierra grisácea (cenizas) sobre nivel geológico, bajo UEN-3.5.

Estructura 3.2. Cisterna a bagnarola con orientación N-S. Época Romana.

UEC-3.II. Fosa de construcción de la cisterna excavada en el sustrato geológico.

UEC-3.III. Pared de mampostería de la cisterna.

UEC-3.IV. Revoco de mortero de cal y arena de la pared interna de la cisterna.

UEC-3.V. Moldura perimetral en forma de media caña en la base de la cisterna.

UEC-3.VI. Cubierta de losas de la cisterna.

UEN-3.11. Nivel de escombros que rellena la cisterna. Contiene restos de hormigón, metal, madera, tela, cristales, plásticos, ladrillo “triple”, azulejos y piedras de diversos tamaños.

Estructura 3.3. Cimentación de mampostería. Época Romana.

UEC-3.VII. Fosa de cimentación de E-3.3.

UEC-3.VIII. Cimentación de mampostería con orientación E-O, sobre el nivel geológico trabado con E-3.4.

UEN-3.7. Estrato de tierra de tono grisáceo con algunos carbones, bastante compacto, sobre nivel geológico. Rellena a E-3.3 por el sur, bajo UEN-3.4. Época Romana.

Estructura 3.4. Cimentación de mampostería. Época Romana.

UEC-3.IX. Fosa de cimentación de E-3.4.

UEC-3.X. Cimentación de mampostería con orientación N-S, sobre el nivel geológico y cortada por la canalización E-3.6.

Estructura 3.5. Cimentación de mampostería. Época Romana.

UEC-3.XI. Fosa de cimentación de E-3.5.

UEC-3.XII. Cimentación de mampostería con orientación E-O, sobre el nivel geológico trabada con E-3.4. Situada al norte de E-3.3.

Estructura 3.6. Canalización de teja tipo “árabe”. Época Medieval-Moderna.

UEC-3.XIII. Fosa de construcción de la canalización.

UEC-3.XIV. Canalización de teja con orientación NE-SO, relacionada con la recogida de agua para almacenamiento en la cisterna E-3.2.

Estructura 3.7. Pavimento enlosado. Época Romana.

UEC-3.XV. Resto de pavimento enlosado sobre UEN-3.13.

Estructura 3.8. Cimentación de pequeños mampuestos. Época Moderna.

UEC-3.XVI. Cimentación de pequeños mampuestos con orientación E-O, bajo UEN-3.6.

Estructura 3.9. Pavimento enlosado. Época Romana.

UEC-3.XVII. Resto de pavimento enlosado sobre nivel geológico por debajo del pavimento enlosado E-3.7.

Estructura 3.10. Canalización de tubo de fibrocemento. Época Contemporánea.

UEC-3.XVIII. Canalización de tubo de fibrocemento que introducía el agua procedente de lluvia en la cisterna E-3.2, de un patio existente hasta los años 80.

Estructura 3.11. Canalización de ladrillo de aguas fecales. Época Contemporánea.

UEC-3.XIX. Fosa de construcción de la canalización.

UEC-3.XX. Atarjea en U formada por ladrillos con revoco de mortero fino de cal y arena en las paredes interiores.

Estructura 3.12. Red de saneamiento de la vivienda demolida. Época Contemporánea.

UEC-3.XXI. Fosa de construcción para la tubería de saneamiento.

UEC-1.XXII. Canalización de tubos de hormigón.

Estructura 3.13. Fosa rectangular excavada en el sustrato geológico. Cronología indeterminada.

UEC-3.XXIII. Fosa de morfología rectangular excavada en el sustrato geológico, bajo E-3.8.

UEN-3.16. Nivel de relleno de UEC-3.XXIII. Tierra de tonalidad marrón clara con algunos fragmentos de piedras quemadas.

Estructura 3.14. Pequeña fosa de morfología circular excavada en el sustrato geológico.

UEC-3.XXIV. Fosa situada en el vértice SE del sondeo.

UEN-3.22. Nivel de relleno de UEC-3.XXIV. Tierra compacta arcillosa de tonalidad marrón grisácea con carbones.

Estructura 3.15. Pequeña fosa de morfología circular excavada en el sustrato geológico.

UEC-3.XXV. Fosa excavada en el sustrato geológico, situada al norte de E-3.1.

UEN-3.23. Nivel de relleno de UEC-3.XXV. Tierra compacta de tonalidad marrón con algunas piedras de pequeño tamaño. Cortada por E-3.1.

Estructura 3.16. Resto de estructura de mampostería. Época Romana.

UEC-3.XXVI. Pequeña estructura formada por varios mampuestos con orientación N-S, sobre el nivel geológico.

Estructura 3.17. Resto de estructura de mampostería. Época Romana.

UEC-3.XXVII. Pequeña estructura formada por varios mampuestos con orientación E-O, sobre el nivel geológico.

Estructura 3.18. Fosa de morfología circular excavada en el sustrato geológico.

UEC-3.XXVIII. Fosa situada en el perfil norte del sondeo 3. Corta a E-3.20.

UEN-3.20. Nivel de relleno de UEC-XXXVIII. Nivel de tierra suelta con muchas piedras pequeñas.

Estructura 3.19. Resto de pavimento de grandes losas en el vértice NO del sondeo. Época Romana. (= a UEC-1.LII)

UEC-3.XXIX. Resto de losas de la calle romana E-1.34.

Estructura 3.20. Nivel de piedras, tierra y cerámica apisonadas. Época Romana. (igual a UEC-1.LIV).

UEC-3.XXX. Encachado de piedras, cerámica y tierra, bajo E-3.19.

Estructura 3.21. Fosa realizada en el sustrato geológico que parece corresponderse con la fosa de cimentación de una estructura similar a E-3.3 y 3.5, que al igual que ellas estuviera asociada al muro E-3.4.

UEC-3.XXXI. Fosa de cimentación excavada en el sustrato geológico.

Estructura 3.22. Pavimento de enlosado. Época Romana.

UEC-3.XXXII. Resto de pavimento de losetas de piedra sobre nivel geológico, bajo el muro E-3.8.

Estructura 3.23. Canalización de ladrillo de para recogida de agua desde patio interior de la vivienda hacia la cisterna E-1.6. Época Contemporánea.

UEC-3.XXXIII. Fosa de construcción de la canalización.

UEC-3.XXXIV. Atarjea en U formada por ladrillos con revoco de mortero fino de cal y arena en las paredes interiores.

Complejo Estructural 1. Vivienda Contemporánea.

UU.EE.NN.-1.1, 1.2, 1.18, 2.1, 2.14 y 3.1.

Estructura 1.1. Solería de terrazo.

Estructura 1.2. Solería de baldosa de barro.

Estructura 1.3. Muro de carga de la vivienda contemporánea, que arranca desde la torre con orientación E-O, compuesto por pilares de mampostería que sostienen muros con zócalo de mampostería y alzado de tapial.

Estructura 1.7. Atarjea de ladrillo y cubierta de piedra con función de rebosadero de la cisterna E.1.6.

Estructura 1.4. Suelo de cal.

Estructura 1.18. Muro de mampuestos trabados con mortero de cal y arena.

Estructura 1.19. Muro de medianería en el límite sur del sondeo nº 1.

Estructura 1.23. Resto de línea de empedrado junto a cisterna.

Estructura 1.29. Estructura muraria de mampuestos trabados con mortero de cal y arena, continuación de E-1.18.

Estructura 1.35. Red de saneamiento de la vivienda demolida.

Estructura 1.41. Muro de fachada a calle San Martín, compuesto por pilares de mampostería que sostienen muros con zócalo de mampostería y alzado de tapial.

Estructura 2.1. Fosa de morfología cuadrangular.

Estructura 2.18. Muro de fachada a la calle Sacristía.

Estructura 2.19. Muro medianero colindante con la sacristía de la Iglesia de San Martín.

Estructura 2.21. Muro de fachada a la calle San Martín.

Estructura 2.23. Pequeña fosa circular en el perfil este del sondeo 2.

Estructura 2.24. Pequeña fosa circular sobre pozo E-2.15.

Estructura 2.25. Suelo de baldosas de barro de una antigua carbonería existente en la propiedad hasta finales de los años 70 del siglo XX.

Estructura 3.10. Canalización de tubo de fibrocemento.

Estructura 3.11. Canalización de ladrillo de aguas fecales.

Estructura 3.12. Red de saneamiento de la vivienda demolida.

Estructura 3.23. Canalización de ladrillo de para recogida de agua desde patio interior de la vivienda hacia la cisterna E-1.6.

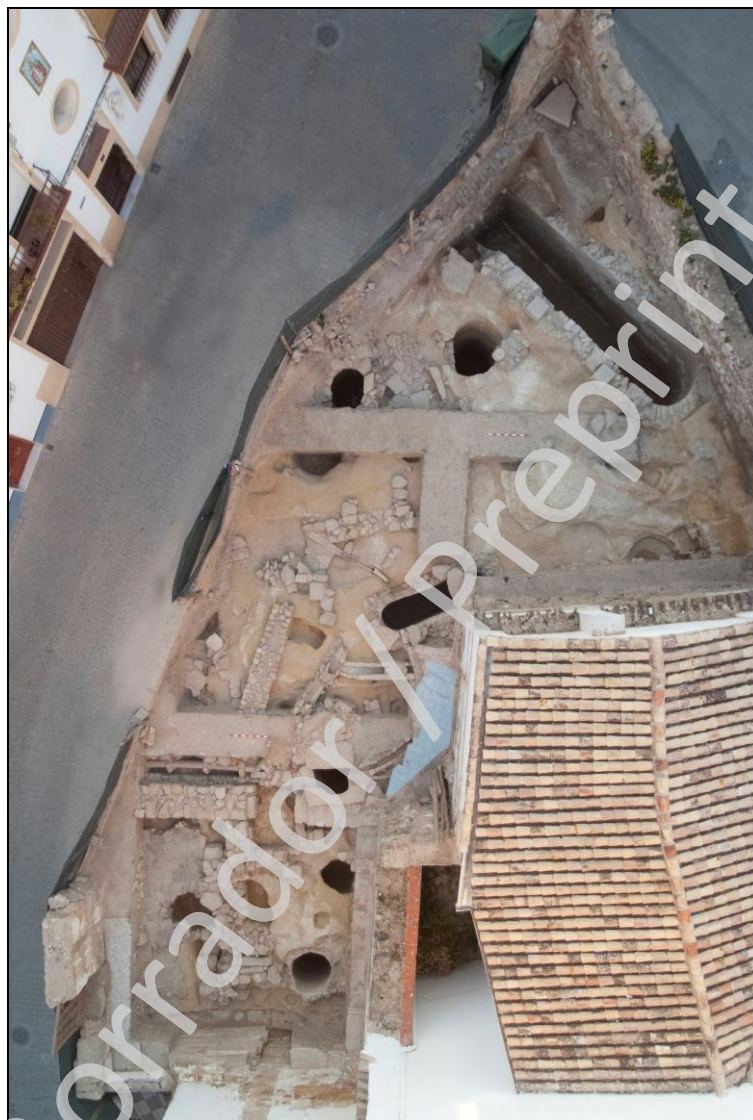
5. EVALUACIÓN DE LOS RESULTADOS DE LA ACTIVIDAD. SECUENCIA DE OCUPACIÓN Y FASES ESTRATIGRÁFICAS DEFINIDAS.

Fruto de los trabajos arqueológicos realizados dentro del Proyecto de Intervención Arqueológica Preventiva en calle San Martín nº 2 esquina con calle Sacristía de Arjona, se ha podido constatar una secuencia ocupacional que transcurre desde Época Ibérica Tardía-Romana Republicana (siglos III-I a.C.) hasta nuestros días, registrándose depósitos arqueológicos en toda el área excavada.

El sustrato geológico.

La base geológica generalizada en el cerro donde se ubica la población de Arjona, la constituyen placas de piedra arenisca alternadas con gredas en forma tabular y con grosores diferentes. En el caso que nos ocupa, el sustrato geológico se ha documentado en una amplia superficie del solar y se compone en su totalidad de banco de piedra arenisca muy poco compactada que se desmorona con facilidad. Estas características geológicas favorecen la manipulación con relativa facilidad del sustrato, lo que va ligado a la aparición de un gran número de estructuras excavadas en él.

En cuanto a la orografía geológica del solar presenta un desnivel en sentido Este-Oeste con un salto de cota de 2'30 m, desde la zona próxima a la esquina donde se unen la calle San Martín y la calle Sacristía, hasta la base de la torre de la Iglesia de San Martín al Oeste del solar.



Lám.01. Vista en planta de la intervención donde se observa el sustrato geológico de arenisca.

FASE DE ÉPOCA IBÉRICA TARDÍA-ROMANA REPUBLICANA (s. III-I a.C.).

El primer momento de ocupación del que tenemos constancia, resultado del estudio preliminar de los materiales registrados, corresponde a un periodo circunscrito entre el siglo III y el siglo I a.C. con materiales propios de la sociedad ibérica indígena unidos a materiales de los primeros momentos de influencia de la Roma Republicana. Los materiales cerámicos asociados son fragmentos de ollas y orzas decoradas con bandas, filetes, aguadas, redes y semicírculos, pero con pastas muy depuradas que nada tienen

que ver con los materiales de similar estilo decorativo del Ibérico antiguo; fragmentos de barniz rojo cubriente del tipo “Emeterio Cuadrado”, orzas de cerámica gris, algún fragmento de cerámica campaniense y de tradición campaniense, cuencos de borde apuntado,...

Las unidades estratigráficas pertenecientes a esta fase se encuentran localizadas inmediatamente sobre el sustrato geológico. En el sondeo nº 1, la U.E.C.- 1.LXVI aporta ésta cronología, siendo esta unidad el encachado o preparado que sirve de base para el asiento de las losas de la calle U.E.C.-1.LXV. Hablamos de la calle documentada como E-1.34, que asciende en sentido oeste-este y hemos podido registrar en el perfil norte del sondeo nº 1 y en el vértice noroeste del sondeo nº 3, proyectándose fuera de los límites del solar bajo la actual calle San Martín. Dentro de esta vía existen dos niveles de pavimentos enlosados superpuestos que se han podido documentar en algunos puntos donde estructuras más recientes han cortado la calle, por ejemplo el silo moderno E-1.31, siendo los materiales sellados entre ambos pavimentos de cronología Altoimperial. Hay que remarcar que estos niveles superpuestos solo aparecen en algunas zonas de la calle y no en la totalidad de la superficie. Este dato creemos que apunta a un origen republicano de la vía con una refacción hacia el siglo I d.C., en la cual se aprovechan tramos de la vía originaria que seguían en buen estado y se construyen nuevas superficies pavimentadas superpuestas en las zonas peor conservadas. Esta calle estará en uso hasta finales del siglo IV d.C.

En el sondeo nº 1, el límite sur de la calle coincidía con un muro del que apenas se han conservado algunas piedras de su cimentación. Parte de este muro lo formarían las estructuras E-1.33 y E-1.40, que aunque parte de un mismo ente, hemos considerado separar en la numeración al no tener relación directa entre ellas. Su fábrica es de un tamaño superior a los mampuestos que asociamos a niveles altoimperiales y se observan claramente en ellas las marcas del proceso de canteado. En el caso de la estructura E-1.40, sí se puede observar como las losas de la calle E-1.34 topan contra ella, al contrario que ocurre con la estructura E-1.33 en la que se ha perdido su conexión con la calle por la construcción de fosas en Época Moderna (E-1.28 y E-1.32). Creemos que tal estructura muraria iría ligada a los orígenes de la construcción de la calle E-1.34 en Época Republicana, por lo que incluimos a las EE-1.33 y 1.40 en esta fase.

En el sondeo nº 2, también se adscribe a esta fase la U.E.N. 2.4A, un nivel muy compacto ubicado bajo el pavimento E-2.22 y sobre el sustrato geológico.

También se encuentran enmarcadas en este periodo las estructuras E-1.6 y E-3.2. Ambas son cisternas de tipología “a bagnarola”, de planta rectangular con los extremos curvados y cubierta realizada con sucesivas losas de piedra.

La cisterna E-1.6, se encuentra en el sondeo nº 1 y tiene una orientación suroeste-noroeste. Sus dimensiones son de 2'40 m de largo por 0'95 m de ancho, con una profundidad máxima de 3'46 m. El proceso de construcción de la cisterna comienza cortando el sustrato geológico de piedra arenisca hasta formar una caja en forma ovalada (U.E.C.-1.X) con las dimensiones elegidas. Acto seguido, se levanta la estructura ovalada de mampostería (U.E.C.-1.XI) adosada a la caja. Se enlucen la superficie interior con mortero de cal y arena (U.E.C.-1.XII) y se remata el perímetro de la base con una moldura hidráulica de “media caña” o bocel (U.E.C.-1.XIII). Finalmente se coloca una cubierta (U.E.C.-1.XIV) formada por varias losas de piedra arenisca. Al igual que ocurre con la cisterna E-3.2, esta estructura hidráulica ha sufrido un aprovechamiento prolongado en el tiempo que ha llegado hasta finales del s. XX y más concretamente al año 1984. Conocemos este dato de la mano del vecino maestro albañil Juan Zamora Mena, encargado de la reforma de la vivienda, en la cual para construir una cocina, se anula un pequeño patio abierto al exterior que existía próximo al muro de medianería entre los sondeos nº 1 y 3, desde el que se recogía y canalizaba el agua de lluvia hacia los dos contenedores. Así, bajo el suelo de la cocina hemos podido documentar las canalizaciones contemporáneas asociadas a ese patio (E.E.-1.37, 3.10 y 3.11).

Claro está, que este tipo de estructuras de aprovechamiento de aguas pluviales, tan apreciadas a lo largo de la historia del municipio dada la escasez de fuentes naturales, pierden su sentido con la instalación de la red de agua corriente, que se generaliza en Arjona en la década de los 70 del s. XX. Así, pasan a convertirse en su mayor parte, junto a pozos de captación de agua, en escombreras. Así ocurre en este caso, estando colmatadas ambas cisternas por escombros contemporáneos (UU.EE.NN.-1.54 y 3.11) procedentes de la reforma del año 1984. También el pozo E-2.10, localizado en el vértice norte del sondeo nº 2 está colmatado por escombros muy recientes (UEN-2.31).

En cuanto a la cisterna E-3.2, presenta algunas diferencias respecto a la estructura E-1.6. Sus dimensiones son de 2'98 m de largo por un ancho de 0'78 m y una profundidad máxima de 3'42 m. La orientación va en sentido noroeste-sureste, opuesta al anterior.

Dada su construcción excavada en el subsuelo y al encontrarse arrasados los niveles y espacios coetáneos, no disponemos de relaciones estratigráficas claras que nos

permitan afinar en su cronología, teniéndonos que vasar en su tipología y los escasos estudios al respecto.

Este tipo de cisternas se conocen en el mundo mediterráneo desde Época Helenística y se extenderán con la Roma Republicana. Algunos autores defienden su filiación púnico-cartaginesa (Conlin, 2001, 207; Bondi, 1988, 265; Moscati, 1988, 51; Ruiz y Delgado, 1991, 19 y Nota 15).

Juan Manuel Ruiz y Fernando Delgado hacen una síntesis en su monografía sobre “El agua en las ciudades de la Bética” de 1991:

"La recogida de aguas de lluvia es, pues, un recurso empleado frecuentemente en las ciudades de la Bética antes de la presencia romana. Las influencias romanas no alterarán la situación, sino que mejorarán las técnicas constructivas de los aljibes [...]

La proliferación de este tipo de cisterna "a bagnarola" fue grande como se ve por el elevado número de ejemplares que hemos podido reseñar. Ello puede ser debido a la sencillez y funcionalidad de este artefacto. La construcción es simple y no precisa de una gran especialización por parte de los artífices. Con un esfuerzo relativamente reducido se obtiene una capacidad considerable (entre 14.000 y 20.000 litros aproximadamente). Sus dimensiones permiten ubicarlas en el subsuelo de habitaciones o patios. El ancho reducido simplifica la disposición de las cubiertas, que pueden ser resueltas con grandes lajas planas de piedra, con estructuras de madera, o con un sistema más elaborado de cubierta a dos aguas. Por otra parte, el problema de las deformaciones a causa de la presión de la tierra sobre los lados mayores puede ser obviado con una elección adecuada del terreno en que se labran. Los lados menores curvos soportan bien cualquier presión, pues funcionan como una bóveda que descarga sobre los muros rectos. Además, si se tienen en cuenta los precedentes ibéricos del Cerro de la Cruz [...] puede haber un componente tradicional en la aceptación de la tipología. Quizá pudiera resultar significativo el hecho de que la mayoría de los ejemplares que conocemos se sitúen en oppida de tradición indígena y, casi siempre, en los lugares más elevados, donde el aprovisionamiento de agua no debió de ser cómodo ni siquiera en el caso de que existieran sistemas públicos de conducción"(Ruiz y Delgado, 1991, 19).

En la Bética, los autores parecen coincidir en que este tipo de contenedor estaría funcionando más o menos desde el s.III a.C. hasta el cambio de era, cuando empiezan a aparecer las grandes estructuras hidráulicas capaces de abastecer a un número mayor de

ciudadanos. Las reformas urbanísticas y sociales cesar-augusteas requieren de este tipo de cambios en los sistemas de abastecimiento.



Lám.02. Detalle del interior de la cisterna E-1.6 y vista en planta de la cisterna E-3.2

FASE DE ÉPOCA ROMANA (siglos I-IV d. C.).

A este periodo se adscriben las estructuras murarias E.E.-1.5, 1.39, 2.2, 2.3, 2.16, 3.3, 3.4, 3.5, 3.16 y 3.17, los pavimentos E.E.-1.34, 2.22, 2.17 y 3.9, y las estructuras hidráulicas E.E-1.14, 2.8 y 2.15.

Ubicadas en el sondeo nº 1 tenemos las estructuras E-1.5 y E-1.39. Son parte del mismo muro, el cual se asienta directamente sobre el nivel geológico y tiene una orientación norte-sur, siendo perpendicular al muro formado por las estructuras E-1.33 y E-1.40, ya descrito anteriormente, el cual haría fachada a la calle E-1.34. Por su lado sur se pierde bajo la medianera y no disponemos de relaciones estructurales o estratigráficas que nos permitan cerrar espacios habitacionales.

También dentro de esta fase se encuentra la E-1.34, que corresponde a un pavimento de losas y tierra apisonada que identificamos como una calle, que aunque de origen republicano, como ya hemos apuntado en el apartado anterior, se mantiene en este periodo hasta el abandono generalizado de todas las estructuras romanas a finales del siglo IV d.C.

En el sondeo nº 2, tanto la E-2.2 como la E-2.3 se encuentran próximas al vértice suroeste del sondeo y son restos de estructuras murarias adosadas al banco geológico, conteniendo el mismo. Al norte de la estructura E-2.3 se ha documentado un espacio allanado excavado en el nivel geológico y una loseta que creemos pudieran estar asociados a un pavimento que hemos identificado como E-2.22. Este espacio se encuentra cortado por su lado norte por la fosa vertedero E-2.20 cuyo nivel de relleno (UEN-2.22) aporta una cronología bajoimperial.

En el vértice norte del sondeo nº 2 también se ha podido registrar una estructura con sentido suroeste-noreste identificada como E-2.16 formada únicamente por dos sillarejos, y asociada en su cara norte con el pavimento E-2.17. Al igual que ocurre con el resto de estructuras de esta fase, son estructuras aisladas en el sentido de que no se pueden enmarcar dentro de complejos estructurales que nos aporten información más allá de una mera descripción material.

En el sondeo nº 3, pertenecientes a esta fase tenemos las fosas E.E.-3.13, 3.14 y 3.15 excavadas en el nivel geológico. En el vértice suroeste del sondeo, las estructuras E-3.16 y E-3.17, que son escasos restos de estructuras murarias que se asientan directamente sobre el nivel geológico. La primera con orientación norte-sur y la segunda con orientación este-oeste. Por otro lado, en la parte central del sondeo se ha registrado el muro E-3.4, con una orientación norte-sur, desde el que arrancan perpendicular a él hacia el Este, las estructuras E-3.3 y E-3.5. Al norte de E-3.5 existe un rebaje en el nivel geológico de proporciones similares a esta estructura que creemos corresponde a la huella de cimentación de otra estructura de iguales características a E-3.3 y E-3.5 y que hemos identificado como E-3.21. La separación entre estas estructuras es de entorno a los 94 cm. y tal distribución crea espacios muy reducidos poco funcionales dentro del ámbito doméstico de la casa altoimperial, por lo que creemos pudieran estar vinculados a otros usos.

Sincrónico a estas estructuras es el pavimento de losetas E-3.9. Este pavimento está en conexión con el muro E-3.4 aunque se encuentra cortado por la canalización medieval de teja E-3.6.

En cuanto a estructuras hidráulicas altoimperiales, en el sondeo nº 1 tenemos la estructura E-1.14. Es un contenedor circular de sección rectangular cuyo proceso constructivo es similar al de las cisternas a bagnarola. Se parte de la excavación de un pozo circular en el sustrato geológico (UEC-1.XXVIII), y una vez alcanzada la profundidad requerida, se forra la pared con una línea de mampuestos (UEC-1.XXIX) y se aplica un revoco (UEC-1.XXX). A diferencia de las cisternas anteriormente descritas, cuyo enlucido era a base de mortero de cal y arena, en este caso el preparado es opus signinum de una gran calidad. El perímetro de la base del pozo está rematado con una moldura (UEC-1.XXXI) de sección rectangular de 10 cm de anchura, que difiere de las molduras de media caña o bocel más típicas en este tipo de estructuras. El diámetro es de 1'1m y tiene una profundidad máxima conservada de 3'24 m. Esta estructura estaba colmatada por un único paquete homogéneo de relleno, con un techo cronológico de finales del s. XV- principios del s. XVI y sellado con grandes lascas de piedra arenisca

(foto 049). Dada la ausencia de estratigrafía de base, enmarcamos esta estructura en esta fase por sus características constructivas y morfológicas.

En la zona sureste del sondeo nº 2, se encuentra la estructura hidráulica de mayor entidad documentada en el solar, la E-2.8. Es una gran cisterna de dimensiones muy superiores a las cisternas E-1.6 y E-3.2. Su orientación es suroeste-noreste no habiéndose podido documentar en la totalidad de su planta dado que se pierde fuera de los límites del solar hacia la calle San Martín. Dado que no se conoce su extremo noreste, puede tratarse de una cisterna de tipología rectangular de ábsides contrapuestos o quizás su variante con un único extremo curvo. Tampoco podemos saber cuál era el límite en altura de la estructura al encontrarse arrasados los niveles superiores. Tiene una profundidad máxima de 2'65 m y una longitud interior máxima de 7'30 m, con un ancho de 1'5 m. La pared de la cisterna (UEC-2.IX), la cual se adosa al sustrato geológico, está realizada a base de mampuestos trabajos con greda y tiene un grosor que oscila entre 0'4 y 0'55 m. En el lado noroeste de la pared de la estructura, se observan tres grandes sillares cuadrangulares embutidos en la pared (UU.EE.CC.-2.12, 2.13 y 2.14), que pudieran ser pilares relacionados con el sistema de cubierta de la cisterna. El revoco interior (UEC-2.X) es de opus signinum y al igual que en las cisternas descritas anteriormente, el perímetro del fondo está rematado con una moldura de media caña o bocel (UEC-2.XI A). Sobre ésta, se establece otra pequeña moldura (UEC-2.XI B) en un arreglo posterior del fondo de la cisterna, distinguiéndose claramente los dos tipos diferentes de mortero. La base de la cisterna tiene una caída en sentido noreste-suroeste (plano 9 secciones G) hasta terminar en un rebaje circular que facilitaría las labores de limpieza de la estructura.

En cuanto a los niveles estratigráficos asociados, a la cisterna la colmatan las UU.EE.NN.-2.20, 2.21, 2.22, 2.23, 2.24A, 2.24B, 2.25, 2.26, 2.27, 2.28 y 2.29 que aportan una cronología tardorromana con un techo cronológico de finales de siglo IV d.C. Entre los materiales cerámicos registrados destaca un número elevado de jarras tardías de cerámica común, fragmentos de Terra Sigillata Africana, fragmentos de platos de Terra Sigillata Hispánica Tardía Meridional del tipo de Margarita Orfila, fragmentos de dolia y un asa de ánfora de la forma Key 16/23 del s. IV d.C. Junto a los materiales cerámicos se ha encontrado también numerosos fragmentos de material constructivo como téglulas, estuco, placas de mármol, molduras de mármol, pizarra, basas de columnas...

A un metro al noroeste de la cisterna se ha documentado un pozo de captación de agua excavado en el sustrato geológico, identificado como E-2.15. Tiene un diámetro de

1'1 m aproximadamente y conserva una pequeña estructura de mampostería en su interior próxima a la superficie (UEC-2.XXII) que pudiera ser parte de un brocal. En su interior se observan claramente los huecos realizados en la pared, donde irían encajadas las traviesas que sirven para facilitar el acceso a la estructura. Se ha rebajado su interior hasta una profundidad de 4 m y los niveles de relleno (UU.EE.NN.-2.28 y 2.30) son de similares características y cronología a los niveles que colmatan la cisterna E-2.8 por lo que su uso y abandono van ligados. Existen muchos ejemplos de pozos de captación de agua asociados a estas grandes estructuras de almacenamiento de agua y este caso podría ser uno más.

Parece evidente que el aprovechamiento de esta gran cisterna nada tiene que ver con las cisternas E-1.6 y E-3.2 que estarían situadas bajo los *impluvia domesticos* (Martín Bueno, 1975, 247-266) y estarían ligadas exclusivamente al abastecimiento del núcleo doméstico. Sus proporciones irían más acorde con un aprovechamiento para uso público.

Hay que tener en cuenta que en una zona en la que escasea el agua, los sistemas de captación alternativos, secundarios o complementarios en otros lugares, se convierten en prioritarios. La escasez hídrica dada la ausencia de fuentes naturales en el municipio, implica que se generalice el uso a discreción de pozos y cisternas, especialmente estas últimas, dato que ha quedado de manifiesto en la gran concentración de estructuras hidráulicas existente en la superficie excavada.



Lám.03. Detalle del interior del pozo E-1.14 y vista en planta de la cisterna E-2.8.

A excepción de la calle E-1.34 que tiene un origen republicano, la estratigrafía asociada a todas las estructuras de esta fase plantea una secuencia homogénea de ocupación que abarca desde Época Altoimperial (siglo I d.C.) hasta el abandono generalizado del barrio hacia finales del siglo IV d.C.

FASE DE ÉPOCA BAJOMEDIEVAL-MODERNA.

Desde el siglo V d.C. hasta siglo XV d.C. hay un salto en el registro en cuando a estructuras se refiere. Esto no quiere decir que existiera un vacío en la ocupación, dado que el espacio estudiado se ubica dentro del entramado urbano medieval al menos desde Época Almohade y son abundantes los fragmentos de materiales cerámicos pertenecientes a este espacio de tiempo, como jarritas visigodas con decoración a peine, ataifores, cantaros con decoración de mano de Fátima, escudillas, cazuelas, ollas, etc, que se encuentran en estratos modernos y contemporáneos. Es una constante en las últimas intervenciones realizadas en el casco urbano la pérdida de los depósitos medievales, víctimas de la potente actividad constructiva en Época Moderna y Contemporánea.

Entre las estructuras documentadas tras el abandono tardo romano hay tres silos excavados en el subsuelo (EE.-1.9, 1.31 y 3.1) cuyos niveles de relleno aportan una cronología de finales del siglo XV y principios del siglo XVI (UU.EE.NN.-1.8, 1.31, 1.35 y 1.39). Los silos E-1.9 y E-1.31, se encuentran en el sondeo nº 1, tienen sección acampanada y conservan en torno a 1'3 m de profundidad. En ambos casos su construcción rompe los niveles romanos altoimperiales. La estructura E-3.1 se localiza en el perfil este del sondeo nº 3 y solo conserva una 0'7 m de alzado.



Lám.03. Vista de los rellenos del silo E-1.9 y vista del silo E-1.32.

Asociados a niveles del siglo XVI d.C. se han documentado, en el sondeo nº 1, dos pequeñas fosas próximas al perfil sur del sondeo (EE.-1.11 y 1.12), una fosa

cuadrangular (E-1.32) que rompe el muro romano E-1.33, una pequeña estructura de mampuestos y cal (E-1.13), una pequeña superficie de suelo enchachado (E-1.17), el resto de una cimentación formada por mampuestos alargados (E-1.27) con orientación norte-sur próximo al pozo romano E-1.14 (ver plano 3), y una cimentación de mampostería (E-1.38) que se pierde en el perfil norte del sondeo n° 1 y corta los derrumbes tardorromanos.

También de Época Moderna se ha documentado la E-1.28, que es una gran fosa de morfología circular ubicada en la parte central del sector 1B, y la E-1.37 que se trata de una zanja de sección cuadrangular paralela a la torre, que atraviesa todo el sondeo. Estas estructuras tienen una singularidad con respecto a las anteriores y es que sus rellenos (UEN- 1.25 y UEN-1.35) aportan una cronología que llega hasta el siglo XVIII. Así, la atarjea de ladrillos E-1.7 situada bajo los niveles contemporáneos, cuya función es de aliviadero de la cisterna E-1.6 pertenecería a este periodo.

En el sondeo n° 2, dentro de este periodo se ha registrado un pequeño nivel de tierra y greda (UEN-2.11), un gran paquete de naturaleza orgánica procedente de contextos domésticos (UEN-2.13) y el nivel de relleno de la fosa E-2.13 (UEN-2.20) que aportan materiales del siglo XV y principios del XVI. Como estructuras adscritas al siglo XVI, tenemos las estructuras E-2.11 y E-2.14, que son dos fosas que rompen los niveles romanos y cuya función creemos esté ligada a la extracción de piedra de las paredes de la gran cisterna romana. Sus niveles de relleno son las UU.EE.NN.-2.18 y 2.19 respectivamente. De otro lado la UEN-2.9, un nivel de escombros sobre el nivel geológico y bajo el suelo del patio contemporáneo, contiene materiales que llegan hasta el siglo XVIII.

También se incluye en esta fase por la estratigrafía asociada la E-2.9, un pilar de mampuestos en cuya esquina norte se reutiliza una piedra esférica con un leve rebaje en su parte superior, que pudiera tratarse de algún elemento decorativo antiguo.

En el sondeo n° 3, pertenecientes a esta fase tenemos un muro de mampuestos con orientación noroeste-sureste E-3.8, el pavimento E-3.7, el cual se superpone al pavimento romano E-3.9, y la fosa E-3.18. Los estratos asociados a estas estructuras (UU.EE.NN.-3.12, 3.14 y 3.20) aportan una cronología enmarcada en el siglo XVI.

La UEN-3.6 es un nivel de derrumbe con mucho material constructivo situado en la parte central del sondeo n° 3. Tiene una cronología dentro del siglo XVI. Bajo este estrato aparece una canalización de teja (E-3.6) que corta los niveles romanos. Su función sería canalizar el agua desde algún punto que desconocemos hacia el interior de

la cisterna E-3.2. No podemos afinar respecto al periodo de construcción de esta canalización. Solo podemos apuntar que estaría funcionando en algún momento dentro de un marco temporal comprendido entre finales del siglo IV d.C. y el siglo XVI.

A pesar de la meticulosidad a la hora de abordar el registro, todos los restos estructurales son tan exigüos que no se pueden concretar funcionalidades. Lo que si podemos afirmar es la ocupación prolongada de este espacio a lo largo de toda la Época Moderna.



Lám.04. Trabajos de excavación de la canalización E-3.6.

De otro lado, dentro de esta fase se ubica la torre de la iglesia de San Martín de Tours (E-1.8), límite de la propiedad al oeste. Su caso requiere una especial atención. Miguel Ruiz Calvente, en su artículo “*El cantero Francisco Fernández Regil, maestro de las obras de la torre del campanario de la iglesia de San Martín de Arjona (Jaén)*” (ELUCIDARIO. Nº 8 (Septiembre 2009). págs. 45 a 56. Seminario Bio-bibliográfico Manuel Caballero Venzalá), hace un repaso a la bibliografía existente en torno a esta iglesia y desarrolla las características y fases constructivas de la misma, centrándose en la construcción de su torre y en la restauración realizada bajo la dirección del arquitecto Diego Gracia Herrera. Son muchos los datos, principalmente provenientes del archivo histórico diocesano de Jaén que hablan sobre esta obra, aportando información sobre cronología, maestros canteros, materiales empleados, costes, salarios.... Parece claro que la obra de la torre se realizó durante el último tercio del siglo XVI. Ruiz Calvente

apunta a que pudo levantarse en tiempos del prelado don Francisco Delgado (1566-1576), pues su escudo se conserva en su cara occidental con la fecha tallada de 1575.

Por otro lado, en este artículo se subraya un dato muy relevante al que se suman todos los autores que se han aproximado al estudio de esta torre en los últimos tiempos, y es que la construcción de la torre de finales del siglo XVI, se realizaría sobre una antigua torre anterior de la que se desconoce su cronología. Esta torre sería de menor dimensión y quedaría embutida en la esquina sureste de la actual. Diego Rueda García y Diego Gracia Herrera publican un artículo en la revista *Fiestasantos* en agosto de 1989 y para justificar la acusada inclinación que presenta la torre hacen referencia al artículo de D. Basilio Martínez Ramos, también publicado en la revista *Fiestasantos* en el año 1947 donde por primera vez se hacía mención al tema de las dos torres superpuestas: *“la inclinación de la torre de San Martín se debe, como la de Pisa, a hundimiento del terreno banco donde está fundada. Parece ser que aprovechando el cimiento y el primer cuerpo de la antigua que existiera en dicho lugar y ampliando un poco la planta por la parte sur que da al altar mayor, se comenzó a edificar la nueva torre en estilo neoclásico, según se puede ver por las primorosas líneas de cornisas y otros detalles minuciosos que es lástima sean dejados en el estado ruinoso en que se encuentran. Una vez terminada la Torre, y a causa del enorme peso de la piedra que en ella se empleó, debió hundirse el cimiento de la parte nueva y al buscar la estabilidad ocasionó la inclinación que le dá mérito(...)”*



Lám. 05. Cara oriental de la torre de San Martín y posible alzado de la torre bajomedieval.

A simple vista se puede observar claramente la diferencia entre la fábrica de finales del siglo XVI a base de sillería y la fábrica de la torre original realizada con mampostería trabada con mortero de mala calidad muy pobre de cal. En la obra del s. XVI, se forra la antigua torre por su cara norte y sur, y se añade el último cuerpo donde se ubica el campanario. Así, podemos ver como la cornisa más baja de la torre, se interrumpe en el punto en que conecta con la torre antigua. También se añaden grandes sillares en la esquina sureste que tendrían como función reforzar la parte baja de la antigua torre en ese punto.

Uno de los objetivos de la intervención era intentar aclarar dudas tanto en lo referente a las distintas fases constructivas de la torre, como en la cronología de origen. Pues una vez realizada la excavación al pie de la torre, la información ha sido muy relevante al respecto. Queda corroborado en profundidad lo que se observa en altura, dado que hemos documentado por un lado la UEC-1.XVIII que corresponde a la cimentación de la torre bajomedieval a base de sillarejo y mortero de cal y arena, y por otro la cimentación de sillares de la parte añadida en el siglo XVI, la UEC-1.XXI.

En cuanto al momento de construcción de la primera torre, los materiales asociados tanto a la fosa de cimentación UEC-1.XVIII (UEN-1.20), como al nivel que corta (UEN-1.7), aportan una cronología bajomedieval con materiales característicos de los siglos XIV-XV, que no permiten una mayor concreción.

Excavada en la UEN-1.7 se ha documentado el enterramiento E-1.42. Esta estructura tiene una orientación este-oeste, estando cortada por la cimentación de la torre UEC-1.XVIII por el oeste y por la fosa moderna E-1.37 por el este, habiéndose conservado solamente la pelvis y los fémures. Por la posición de los huesos parece enterrado en un contexto abierto y por la morfología y uniones de las epífisis corresponde a un adolescente de sexo femenino.

FASE DE ÉPOCA CONTEMPORÁNEA.

A este periodo pertenecen todas las estructuras asociadas a la vivienda contemporánea demolida que hemos agrupado dentro del Complejo estructural 1. En realidad existían dos viviendas distintas separadas que compartían los muros de carga E-1.18 y E1.29, y pasaron a ser parte de la misma propiedad a mediados del siglo XX. Ambas viviendas se construyeron a principios de siglo (según Catastro en la década de 1920) siguiendo en sistema constructivo típico de la arquitectura popular a base de pilares de mampostería que soportan muros con zócalo de mampostería y alzado de tapial, utilizado en la zona hasta el último tercio del siglo XX.

6. VALORACIÓN DE LOS DEPÓSITOS ARQUEOLÓGICOS.

La intervención arqueológica llevada a cabo en el solar nº 2 de la calle San Martín esquina con calle Sacristía de Arjona (Jaén), ha permitido obtener el registro y documentación de las estructuras y niveles de relleno existentes, así, como establecer la secuencia estratigráfica de las áreas excavadas fruto de la ocupación humana a lo largo de la Historia.

En dichos trabajos se ha puesto de manifiesto la relevancia de las estructuras exhumadas y la importancia que tienen como elementos patrimoniales dentro del municipio de Arjona.

7. BIBLIOGRAFÍA.

CABRERA JIMÉNEZ, E. y Otros (2007): Memoria Final sobre los resultados obtenidos en la Intervención Arqueológica Preventiva: Control arqueológico de los movimientos de tierra desarrollada en la C/ Ayala nº 83 de Arjona (Jaén). A.A.A. 2.007.

CABRERA JIMÉNEZ, E. y Otros (2007): Memoria Final sobre los resultados obtenidos en la Intervención Arqueológica Preventiva: Control arqueológico de los movimientos de tierra desarrollada en la C/ Ayala esquina con C/ Infanta Cristina de Arjona (Jaén). A.A.A. 2.007.

DE HOZ ONRUBIA, J.; GARCÍA ÁLVAREZ, S.; MALDONADO RAMOS, L.; RIVERA GÁMEZ, D.; VELA COSSÍO, F. (2005): “La construcción con tierra en la arquitectura contemporánea española. La experiencia de la Dirección General de Regiones Devastadas”. CIAT. *Terra em Seminário, (actas del IV Seminario Ibero-Americano de Construcción con Tierra)*, Argumentum, 2005, pp. 1-2.

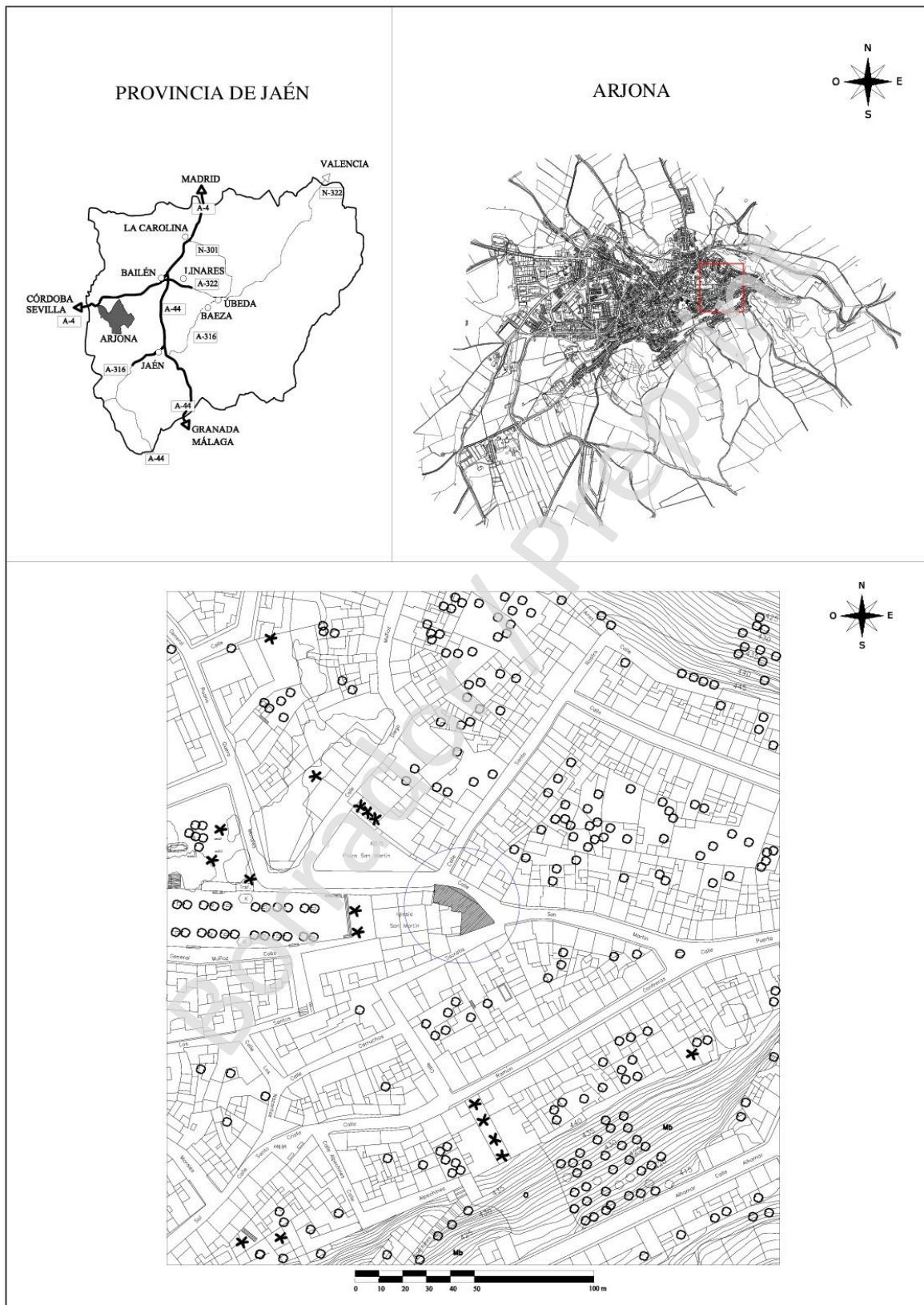
MARTÍNEZ SIERRA, I. y Otros (2007): Memoria Final sobre los resultados obtenidos en la Intervención Arqueológica Preventiva desarrollada en la C/ Castillo nº 1 de Arjona (Jaén). A.A.A. 2.007.

MARTÍNEZ SIERRA, I. y Otros (2007): Memoria Final sobre los resultados obtenidos en la Intervención Arqueológica Preventiva desarrollada en la C/ Ramón Contreras nº 18 de Arjona (Jaén). A.A.A. 2.007.

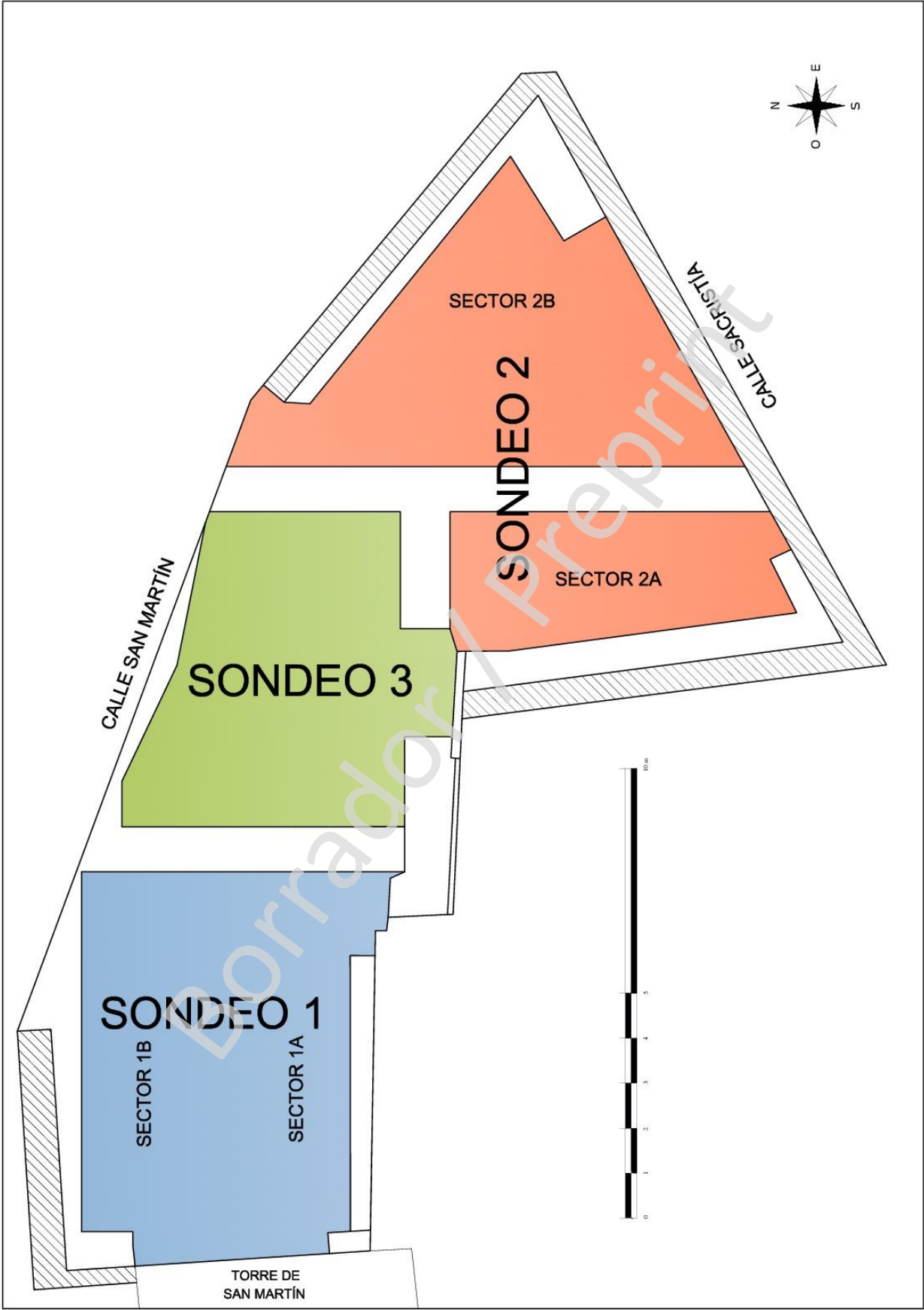
PÉREZ ADAIL, A. y Otros (2010): Memoria Final sobre los resultados obtenidos en la Intervención Arqueológica Preventiva: Control arqueológico de los movimientos de tierra desarrollada en la C/ Alcantarilla, esquina C/Proyecto XXIII, de Arjona, Jaén. A.A.A. 2010.

TORRES TORRES, F. y Otros (2006): Memoria Final sobre los resultados obtenidos en la Intervención Arqueológica Preventiva: Control arqueológico de los movimientos de tierra desarrollada en la C/ Conde de Antillón nº 88 de Arjona (Jaén). A.A.A. 2006.

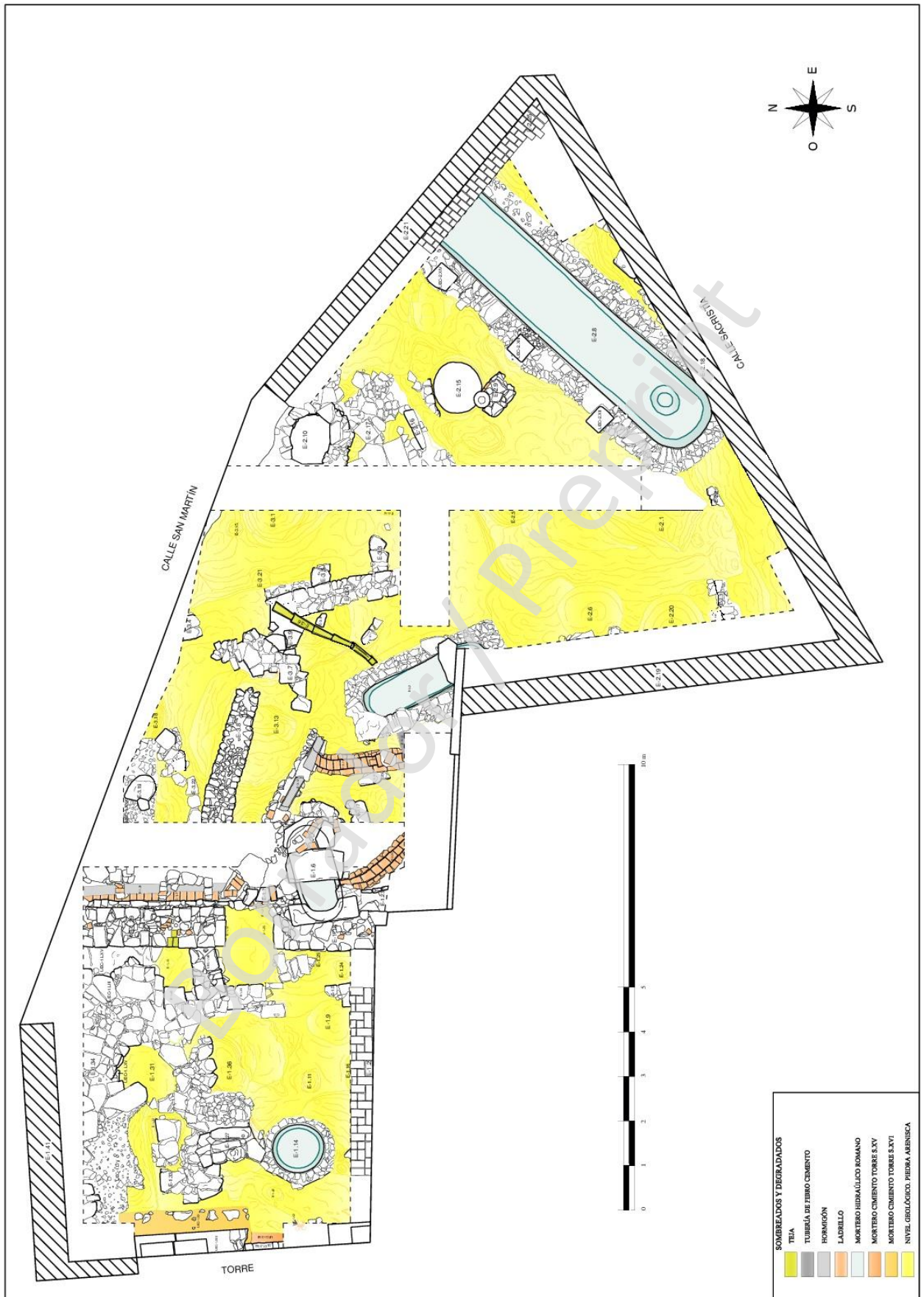
8. PLANIMETRÍAS.



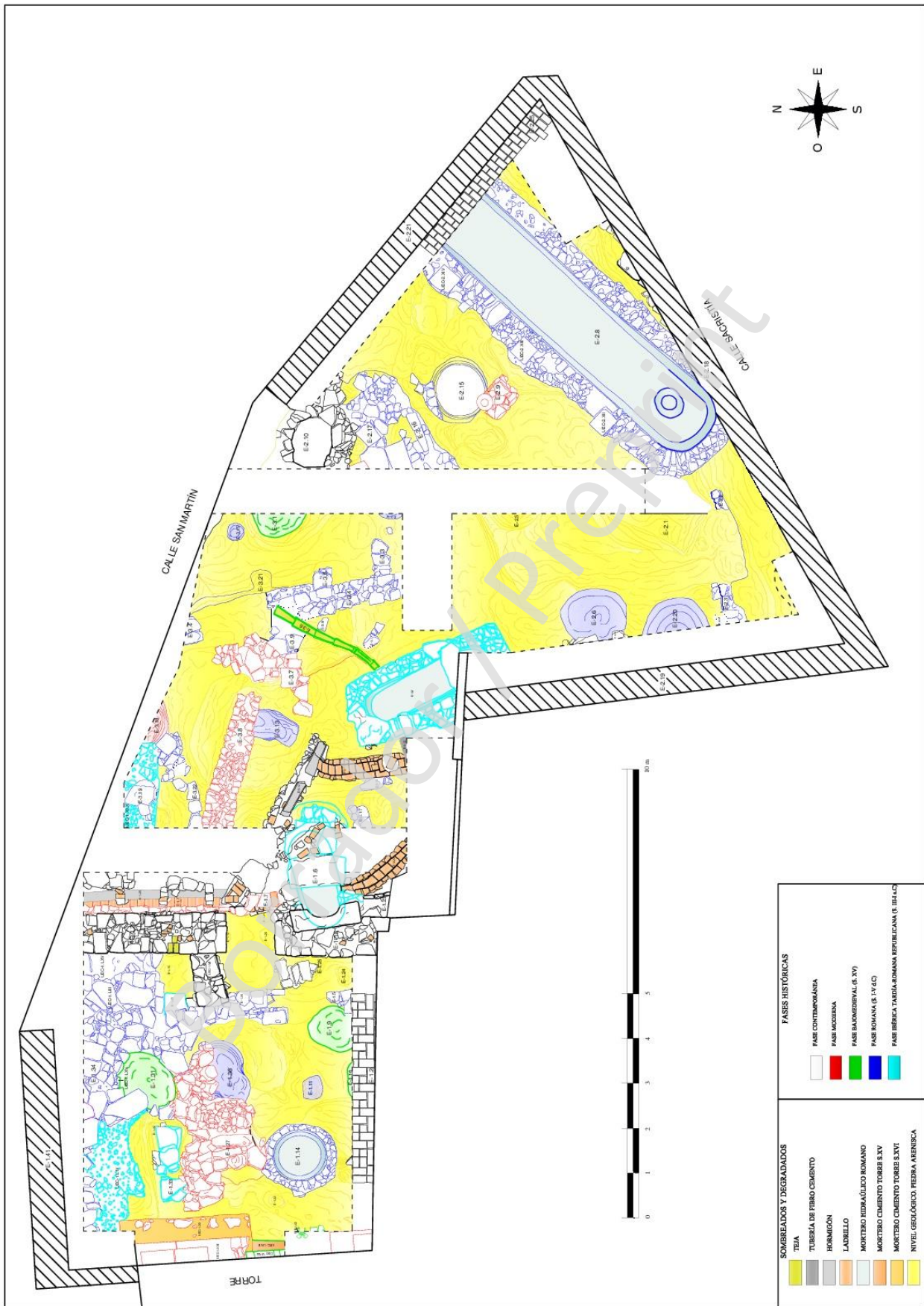
Plano1. Situación



Plano2. Sondeos arqueológicos



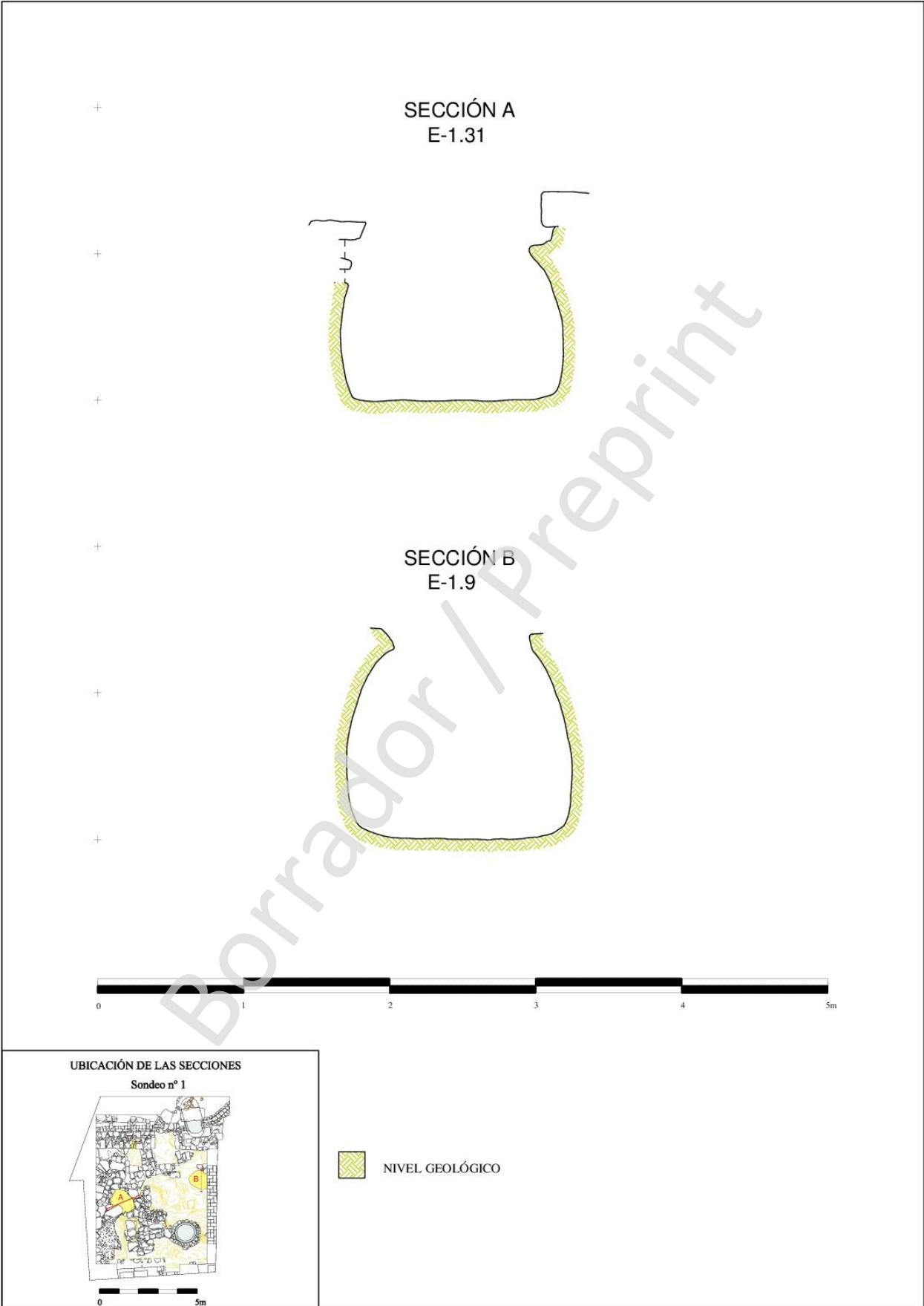
Plano 3. Planta Final



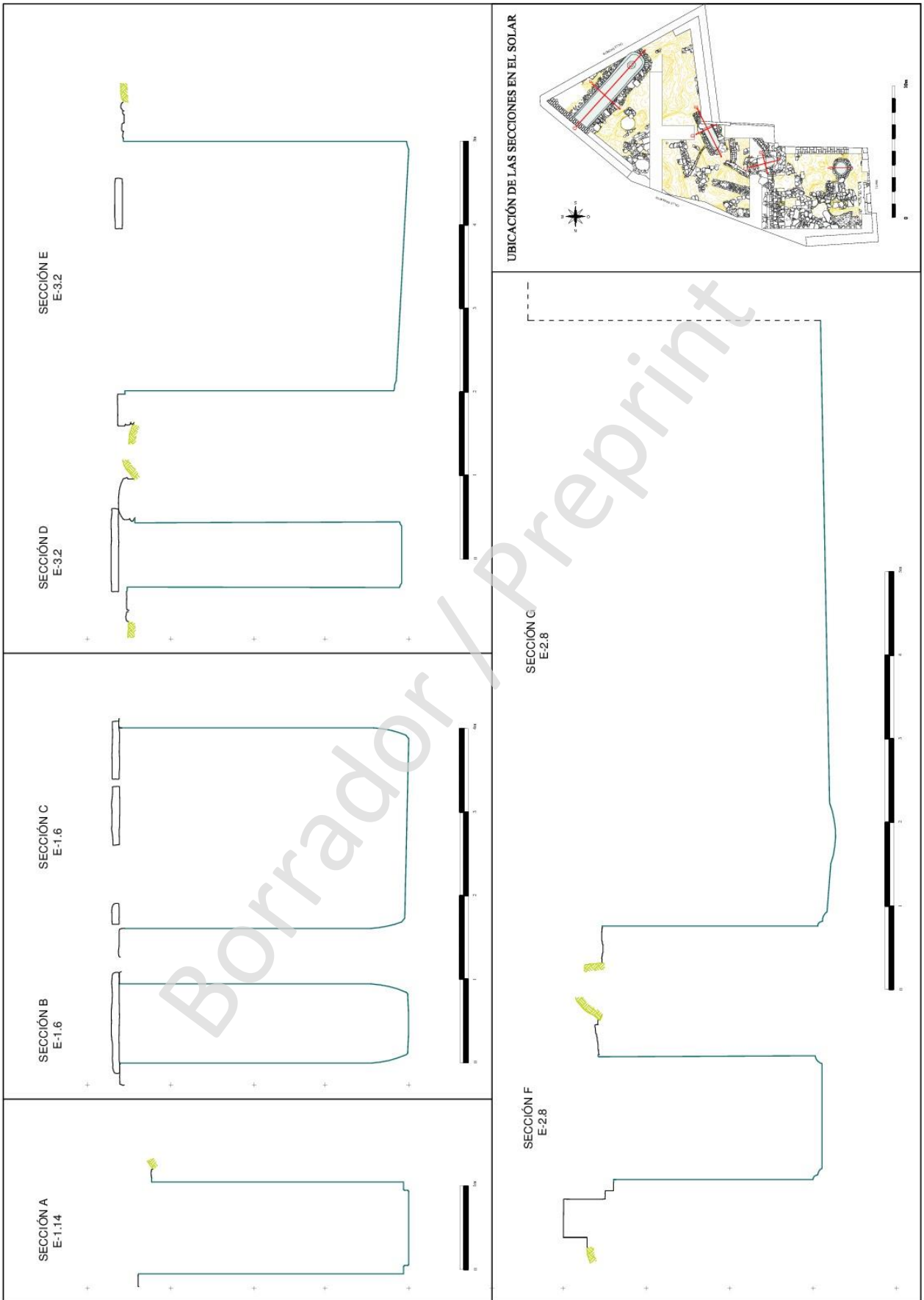
Plano 4. Fases históricas



Plano 5. Secciones estratigráficas



Plano 6. Secciones silos bajomedievales



Plano7. Secciones estructuras hidráulicas